

**Předběžné poznatky
o zemětřesení v jihovýchodní Asii**

J. Zahradník

<http://geo.mff.cuni.cz>

Proč tato přednáška ?

- porozumět záplavě seismologických informací na Internetu
- pochopit taje a kouzla seismologie a její vazby na jiné fyz. a matem. obory

Reference: převážně web USGS a EMSC

Část 1

Ohlédnutí do minulosti:
zemětřesení a sopečná činnost
jako velké přírodní katastrofy

Messina (Itálie), 28. 12. 1908 zemětřesení M7 a tsunami, 70 tis. obětí



dem 5^{ten} Februaris, dieses 1783^{ten} Jahrs erfolpten schwächlichen Erdhebens zu **MESSINA** der berühmten Handels Stadt in dem Königreich Sicilien, die Verwüstung verurtheilte, die zu Messina, wober so weniger heftige Stöße aber der, calzealichte zu Mitternacht erfolgte, der über alle jene Gegenden, den Greuch, der Verwüstung verurtheilte, wankete, schiffler Himmel, blitzt u. donerte, es fielt bey einer grausamen Plünderung ein dicker Plutregen, aus neuen Erdklüften flamte das Feuer über sich und gab ein wüthendes Geräusch von sich, bey 1100^{ten} Menschen sollten dabey zu Grund gegangen seyn, und bliebe von der ganzen Stadt nichts als die Armegeelen, Feuch und dasal tpuce = den Berg stehen. Ein Dominicaner Constant ist ganz zerstorret, 5^{ten} Layenbrüder sind umgekomen, die andere aber beschädigt oder verthamelt worden, von dem he = z. Leichthum, wird immer bekümpft, daß er vom Meer verschlungen sey. Drey kleine Pflungen, nämlich: Gonzaga, Maturfona, u. noch eine, sind aufrecht ge = blieben, und Abfätzen derselben haben nicht gelitten.

Magnitudo

$$M \approx \log E_s$$

E_s ... energie seismických vln

Dříve se M odhadovalo z amplitud seis. vln pomocí empirických poznatků o jejich závislosti na epic. vzdálenosti.

Richterovo mag., později M_s a mnoho dalších.
Problémy.

Zde používáme **MOMENTOVÉ MAGNITUDO**.

Magnitudo

$$M \approx \log E_s \approx \log M_0$$

$$M_0 \approx [u]\Sigma$$

E_s ... energie seismických vln, M_0 ... seismický moment
 Σ ... plocha zlomu, $[u]$... nespojitost posunutí na Σ


Používáme momentové
magnitudo M či M_w
(čili ani Richterovu stupnici ani
magnitudo z povrchových vln M_s)

Stupnice M_s špatně rozlišuje velká z.
(„nasyčení škály“).

Např. Kalifornie 1906 i Chile 1960: $M_s 8.3$
třebaže jejich M_w jsou různá (8.0 a 9.5).

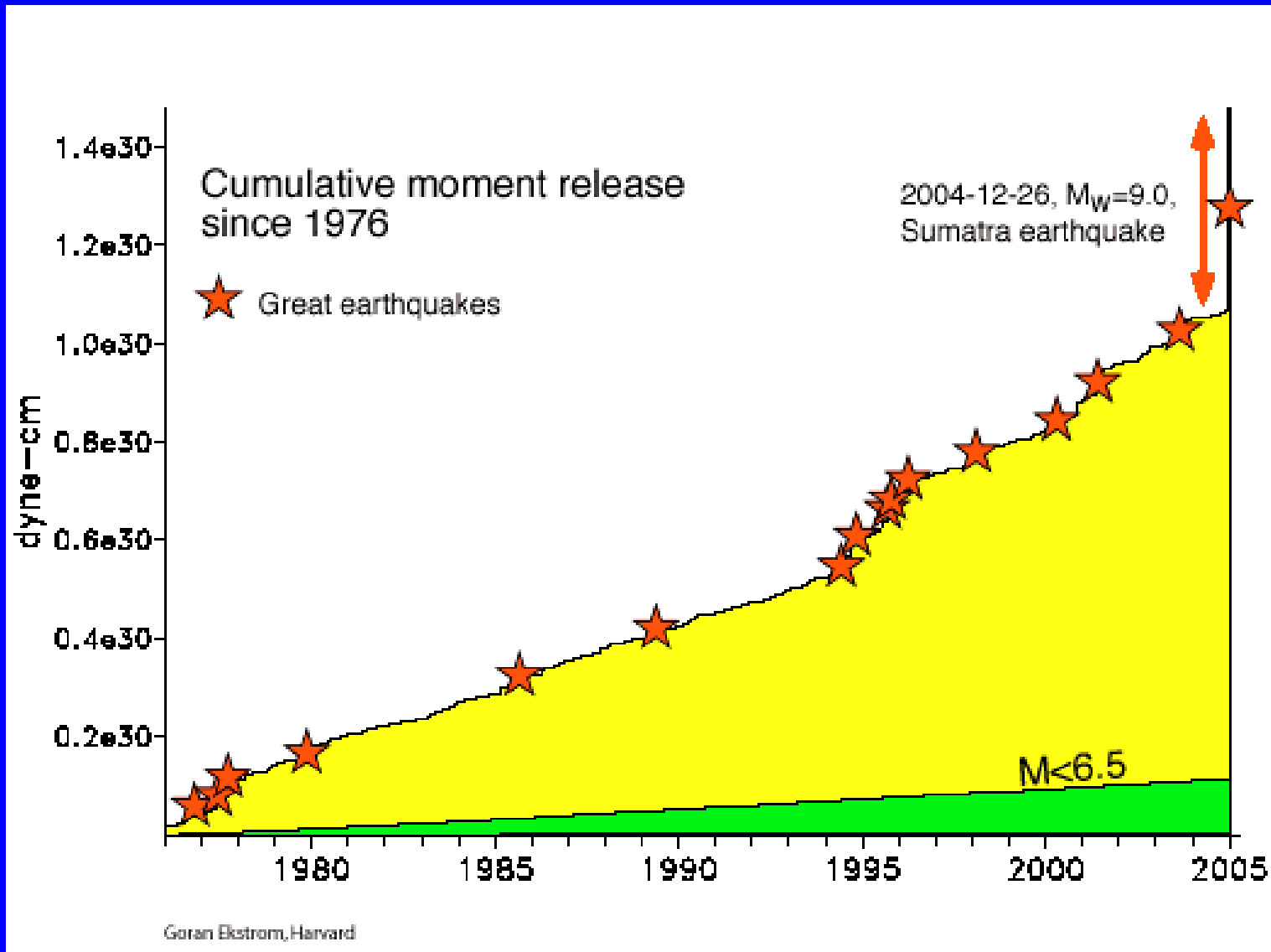
Sumatra (M9) uvolnila 1000x více energie než Messina (M7)

Largest Earthquakes in the World **Since 1900**

 Largest Earthquakes in the World Since 1900

Location	Date UTC	Magnitude	Coordinates
1. Chile	1960 05 22	9.5	38.24 S 73.05 W
2. Prince William Sound, Alaska	1964 03 28	9.2	61.02 N 147.65 W
3. Andreanof Islands, Alaska	1957 03 09	9.1	51.56 N 175.39 W
4. Kamchatka	1952 11 04	9.0	52.76 N 160.06 E
5. Off the West Coast of Northern Sumatra	2004 12 26	9.0	3.30 N 95.79 E
6. Off the Coast of Ecuador	1906 01 31	8.8	1.0 N 81.5 W
7. Rat Islands, Alaska	1965 02 04	8.7	51.21 N 178.50 E
8. Assam - Tibet	1950 08 15	8.6	28.5 N 96.5 E
9. Kamchatka	1923 02 03	8.5	54.0 N 161.0 E
10. Banda Sea, Indonesia	1938 02 01	8.5	5.05 S 131.62 E
11. Kuril Islands	1963 10 13	8.5	44.9 N 149.6 E

Jednalo se o jev ojedinělé velikosti



M9 zhruba jednou za 10 let

Descriptor	Magnitude	Average Annually
Great	8 and higher	1 ¹
Major	7 - 7.9	17 ²
Strong	6 - 6.9	134 ²
Moderate	5 - 5.9	1319 ²
Light	4 - 4.9	13,000 (estimated)
Minor	3 - 3.9	130,000 (estimated)
Very Minor	2 - 2.9	1,300,000 (estimated)

¹ Based on observations since 1900.
² Based on observations since 1990.

Gutenberg-Richter: $\log N = a - b M$, velmi hrubě $8 - M$

Fraktální chování zlomů

- $\log N = a - bM$
- $N \sim R^{-D}$
- $\log N \sim -D \log R \sim -D/2 M$

ale také sopečné výbuchy a následné tsunami
1500 před n.l. (?) Santorini
1883 Krakatau 36 000 obětí

?? 1872 (?) Bengál. záliv 200 000 obětí

Bylo někdy více obětí zemětřesení ?

Earthquakes with 50,000 or More Deaths

Listed in order of greatest number of deaths

Date	Location	Deaths	Magnitude	Comments
January 23, 1556	China, Shansi	830,000	~8	
July 27, 1976	China, Tangshan	255,000 (official)	7.5	Estimated death toll as 655,000.
August 9, 1138	Syria, Aleppo	230,000		
May 22, 1927	China, near Xining	200,000	7.9	Large fractures.
December 22, 856+	Iran, Damghan	200,000		
December 16, 1920	China, Gansu	200,000	8.6	Major fractures, landslides.
March 23, 893+	Iran, Ardabil	150,000		
September 1, 1923	Japan, Kwanto	143,000	7.9	Great Tokyo fire.
October 5, 1948	USSR (Turkmenistan, Ashgabat)	110,000	7.3	
December 28, 1908	Italy, Messina	70,000 to 100,000 (estimated)	7.2	Deaths from earthquake and tsunami.

(pokračování)

November 1, 1755	Portugal, Lisbon	70,000	8.7	Great tsunami.
December 25, 1932	China, Gansu	70,000	7.6	
May 31, 1970	Peru	66,000	7.9	\$530,000 damage, great rock slide, floods.
1268	Asia Minor, Silicia	60,000		
January 11, 1693	Italy, Sicily	60,000		
May 30, 1935	Pakistan, Quetta	30,000 to 60,000	7.5	Quetta almost completely destroyed.
February 4, 1783	Italy, Calabria	50,000		
June 20, 1990	Iran	50,000	7.7	Landslides.

Z. Kukul: 1872 Bengál. záliv 200 000 obětí
není potvrzeno že šlo o tsunami

Oběti některých sopek:

Between 1972 and 1991 alone, 29 volcanic eruptions mostly on Java.

In 1815 a volcano at Gunung Tambora claimed 92,000 lives and created "the year without a summer" in various parts of the world.

nejen ničivé účinky, ale též vliv na ovzduší

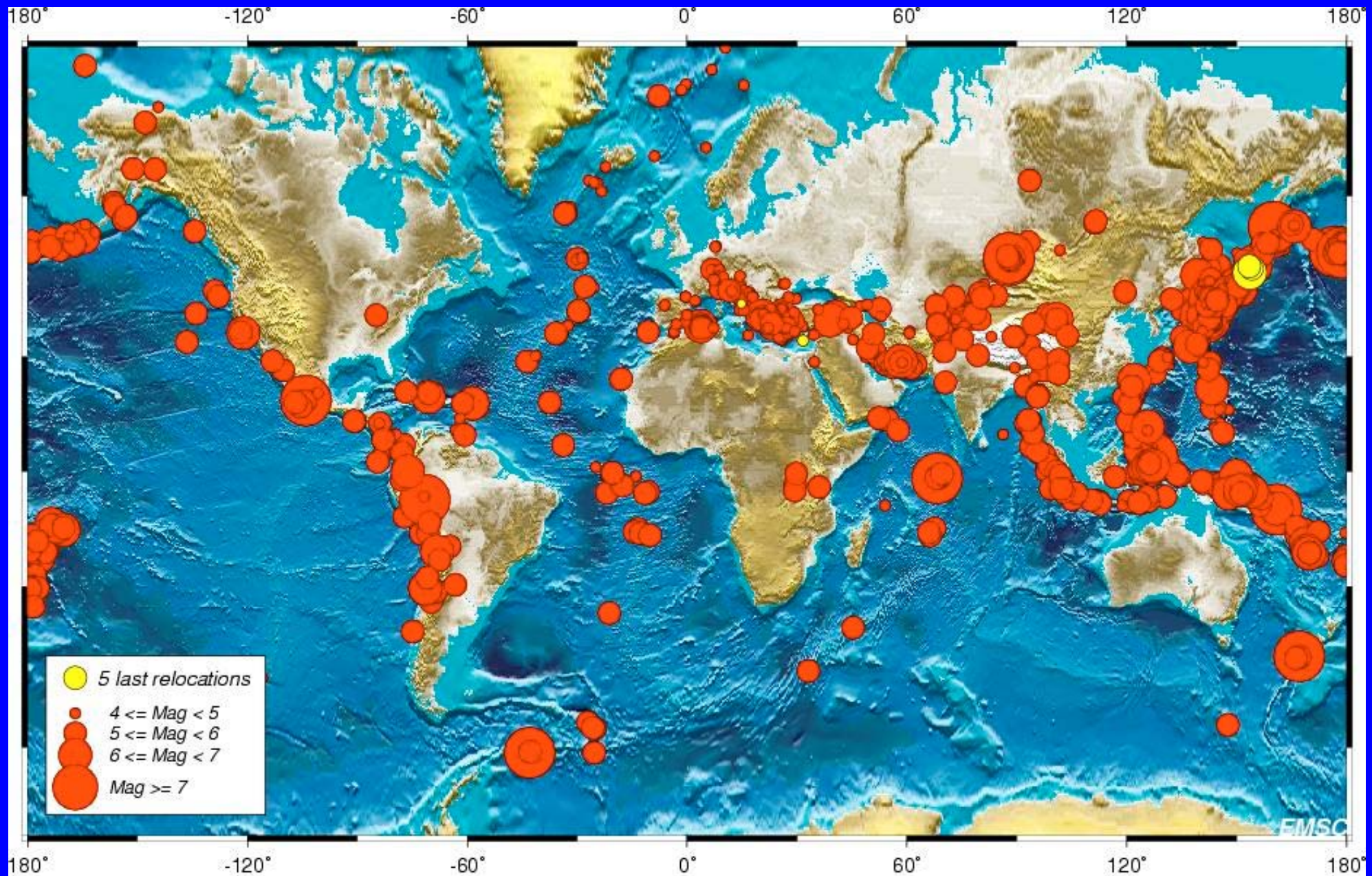
In 1883 Krakatau in the Sunda Strait, between Java and Sumatra, erupted and some 36,000 West Javans died from tsunami. The sound of the explosion was reported as far away as Turkey and Japan.

1500 před n.l. Santorini (Egejské moře), zánik Atlantidy ?

Část 2

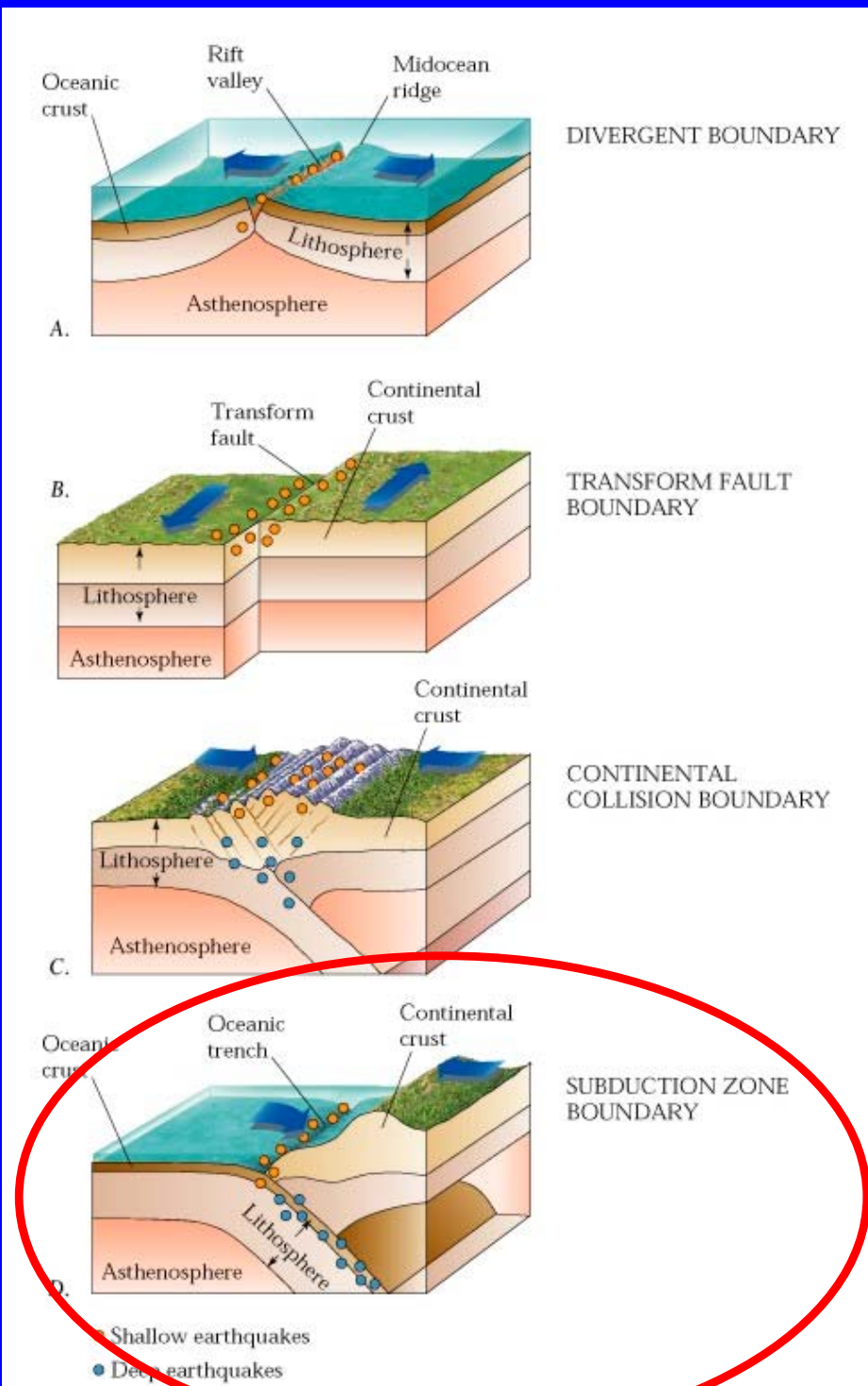
Zemětřesení a litosférické desky

Aktivita mapuje litosférické desky



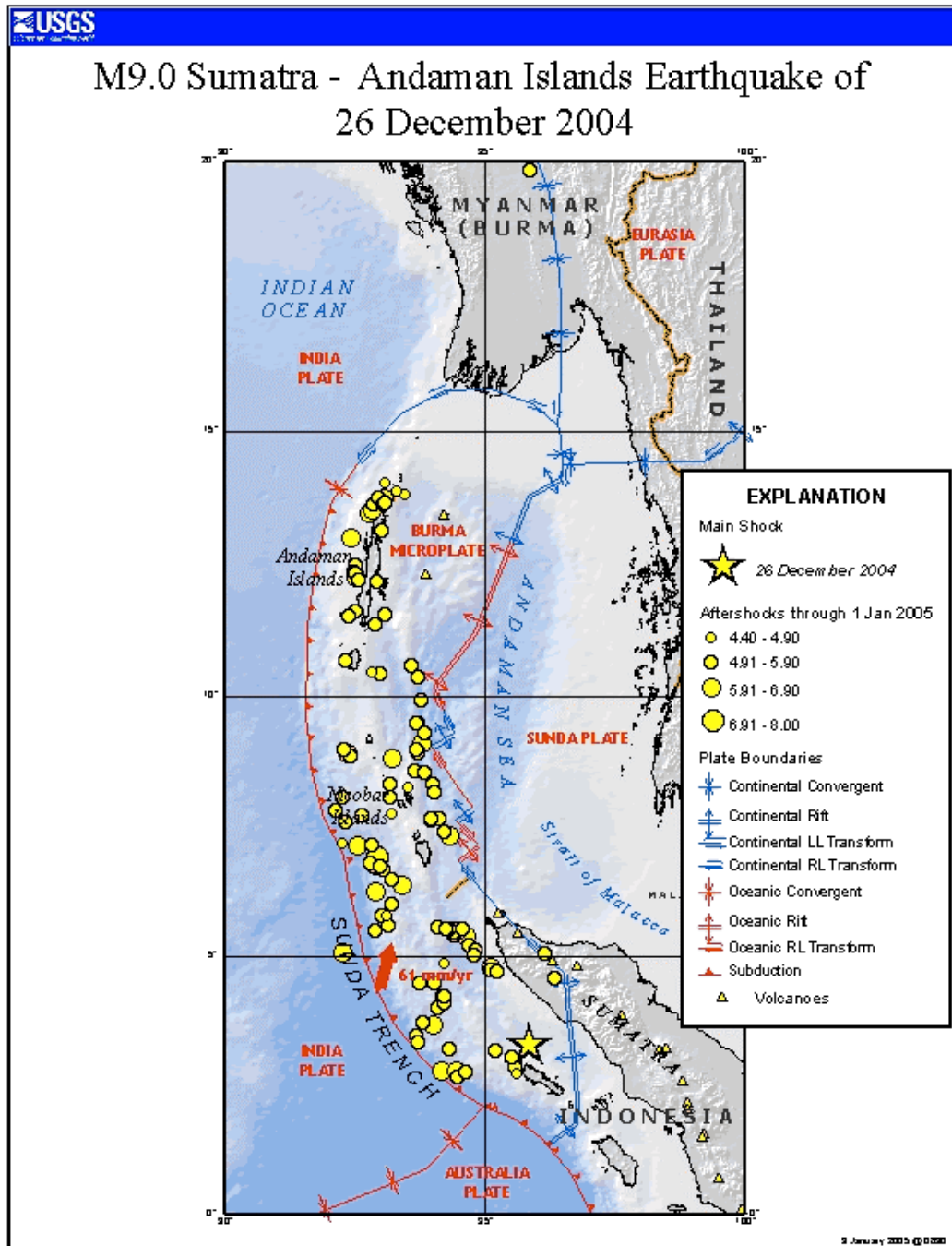
2004/01/13-09:15 GMT

Sumatra - jeden z běžných typů deskových rozhraní: subdukce



Lze to jednoduše dokázat ?

Rychlost subdukce je měřitelná



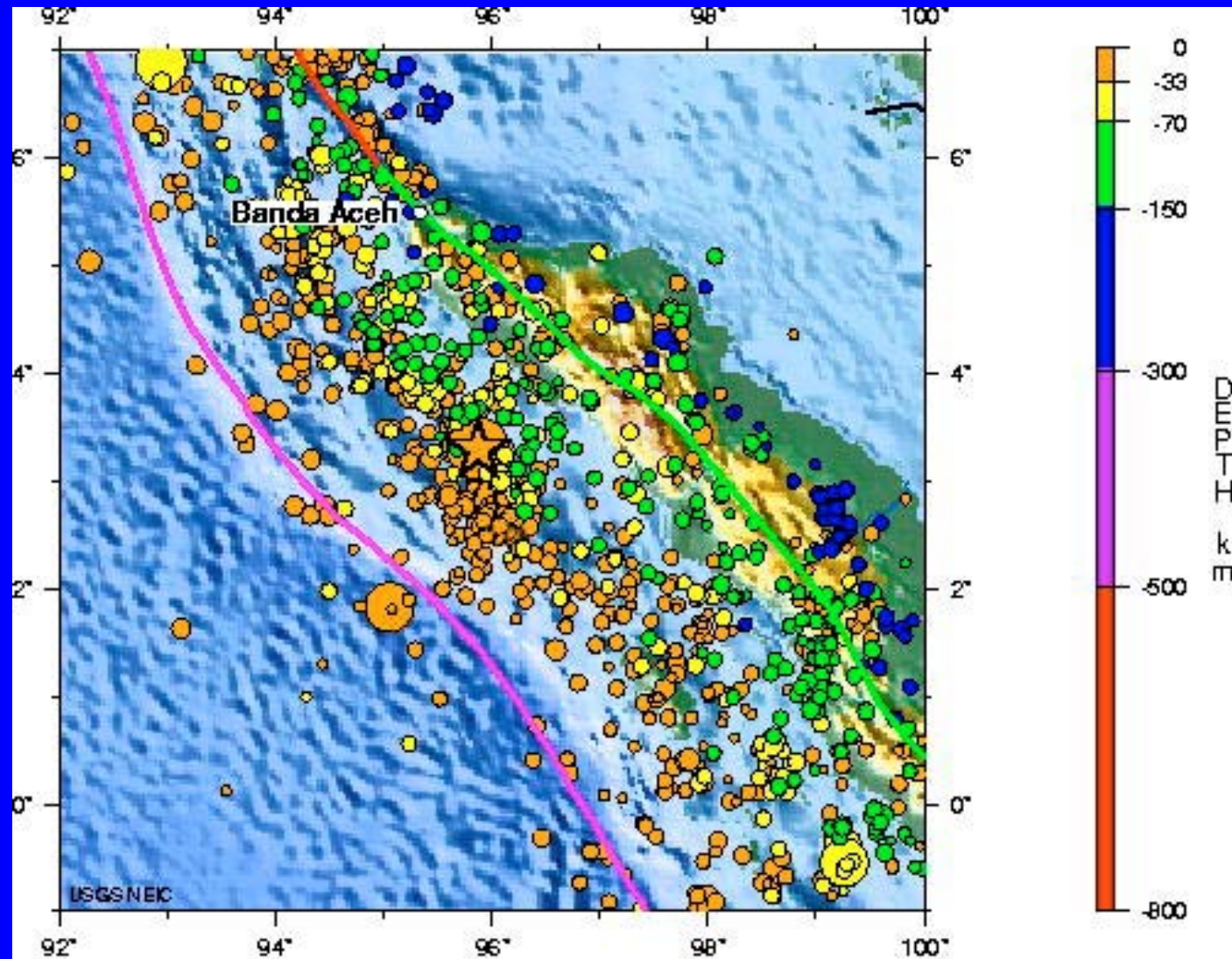
6 cm/rok

významná
„okrajová podm.“
pro modely
desek
a zlomu

Numerické modelování subdukce a jejího vztahu ke konvekci v zemském plášti

Geodynamická skupina katedry
geofyziky Vás zve na samostatnou
přednášku !

1990-2004
hloubka z.
směrem
pod
Sumatru
roste



OFF THE WEST COAST OF NORTHERN SUMATRA
2004 12 26 00:58:53 UTC 3.30N 95.87E Depth: 30 km, Magnitude: 9.0
Seismicity 1990 to Present

Major Tectonic Boundaries: Subduction Zones -purple, Ridges -red and Transform Faults -green

USGS National Earthquake Information Center

26. 12. 2004 v 00:59 svět. času,
t.j. 06:59
místního
času



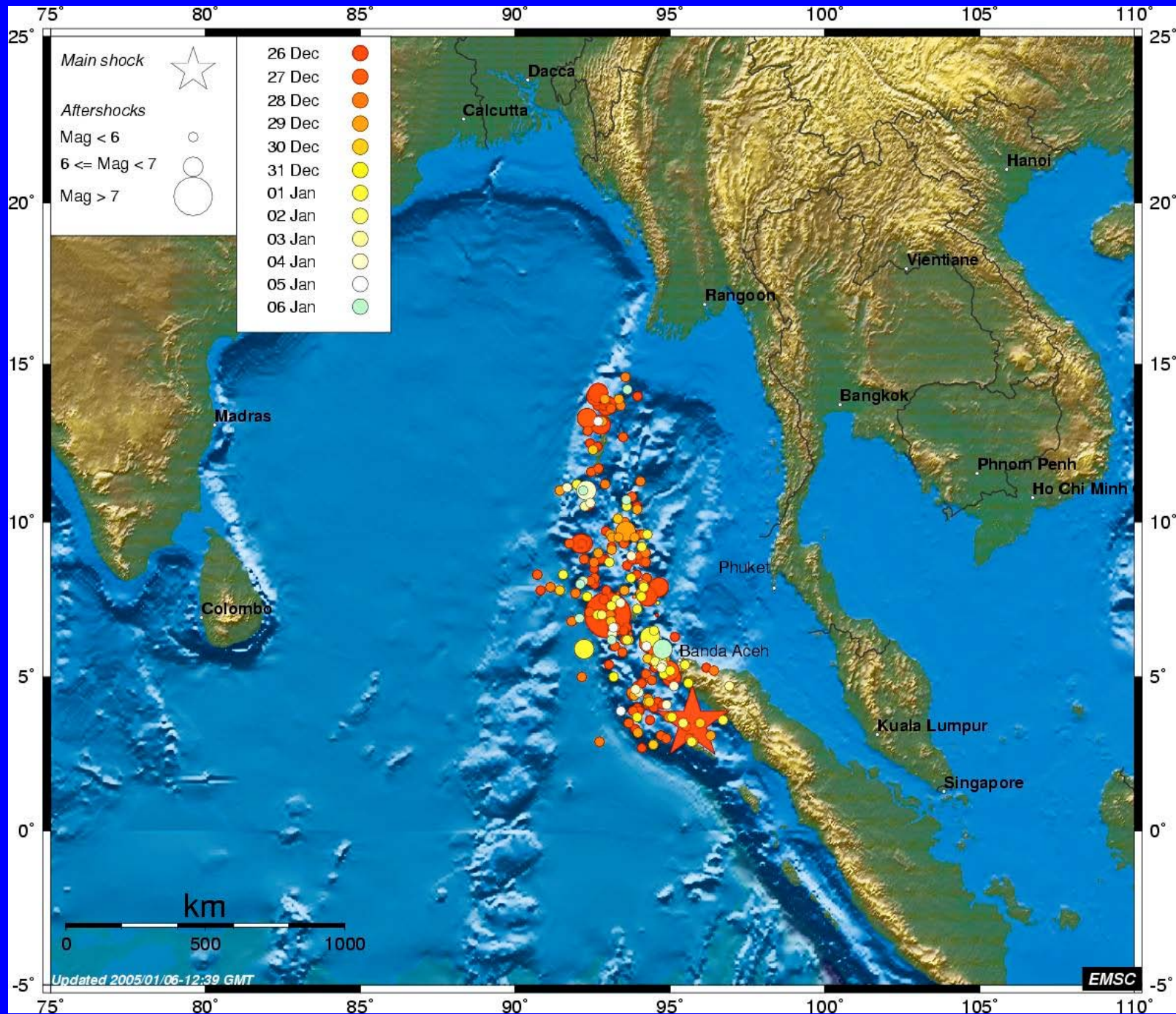
lokace světovou
sítí stanic během
cca 15 minut
(doba běhu seis. vln)

hypocentrum (NEIC) a centroid (HRV)

Lokace

- Úloha nalezení polohy ohniska a času vzniku z. z časů příchodu jednotlivých druhů prostorových P a S vln.
- Neřeší se přímo žádná pohyb. rovnice.
- Jde o minimalizaci rozdílu mezi pozorovanými a teor. časy šíření, časy jsou dány explicitním funkčním předpisem (pro daný model prostředí numericky).
- Nelineární úloha.

a 12 dní dotřesů ...

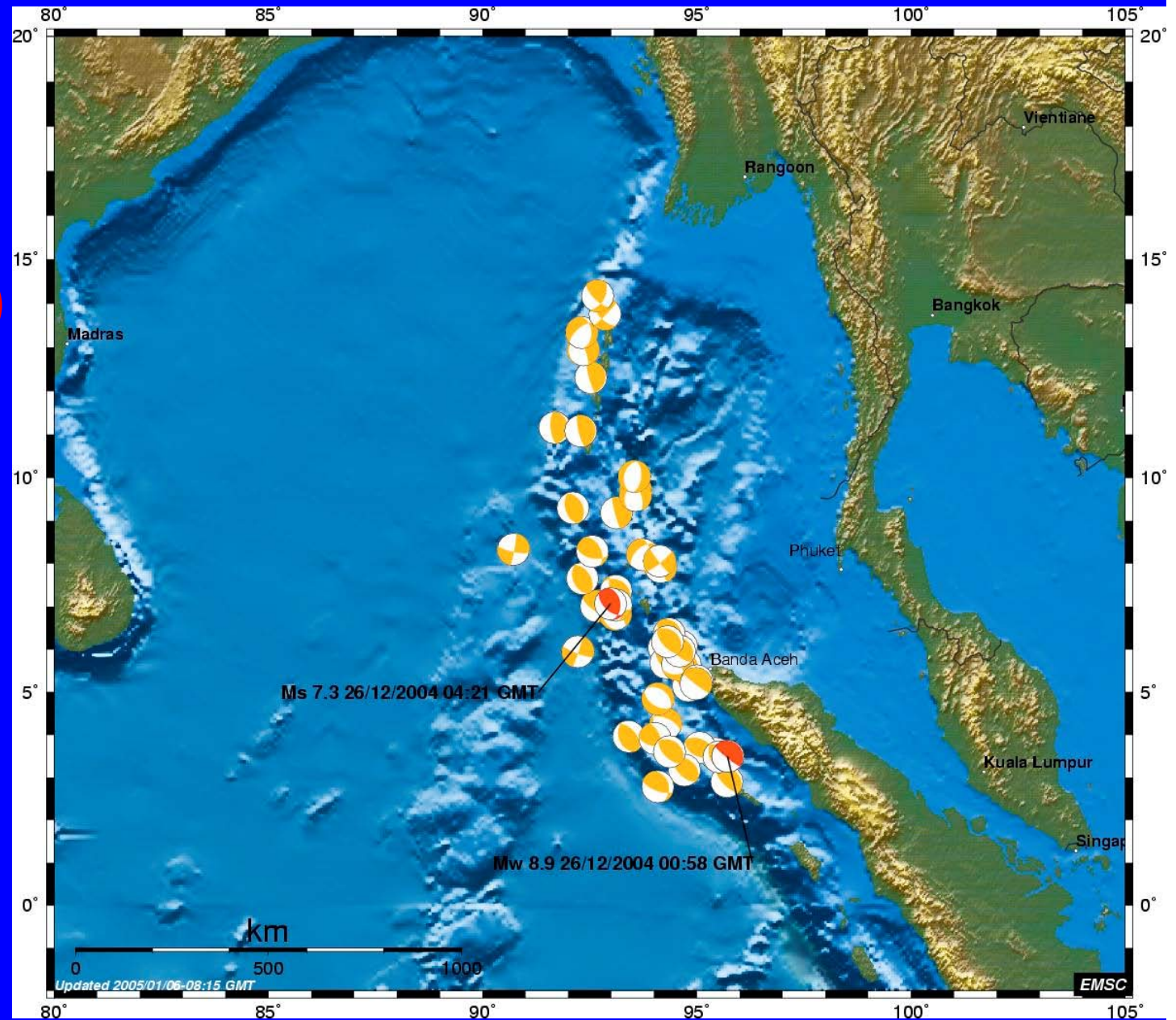
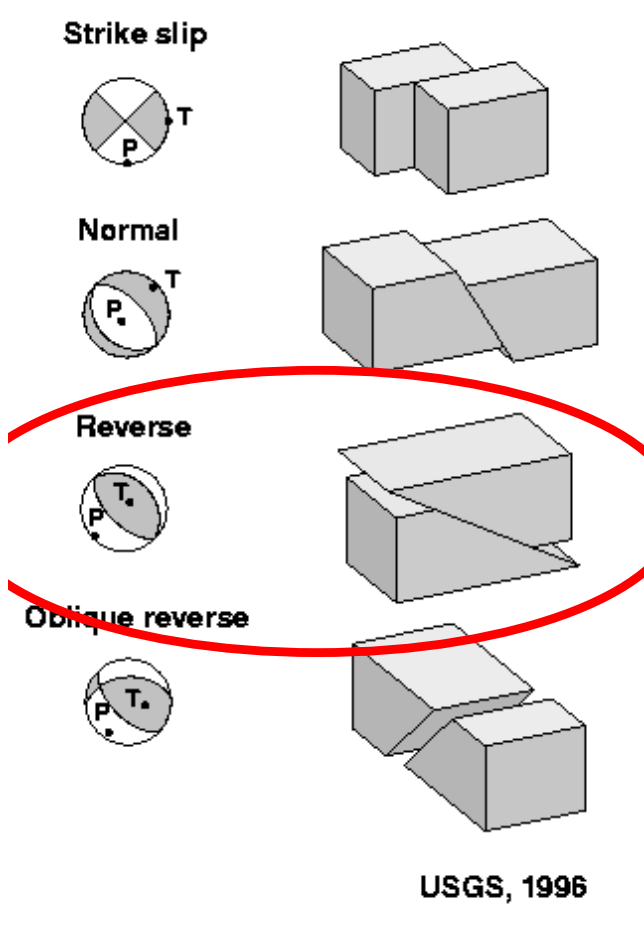


animace dotřesové sekvence

ukazuje rozsah zlomové plochy

hlavního otřesu

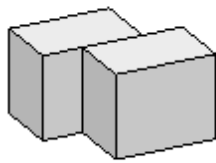
(a největšího dotřesu M7 po cca 3 hodinách)



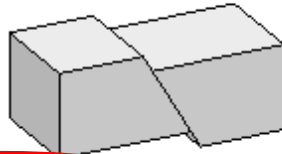
o geometrii zlomové
plochy vypovídají
i seismické vlny

„mechanismus ohniska“

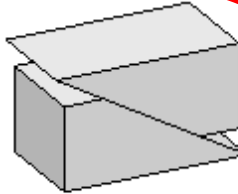
Strike slip



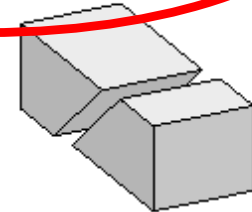
Normal



Reverse



Oblique reverse

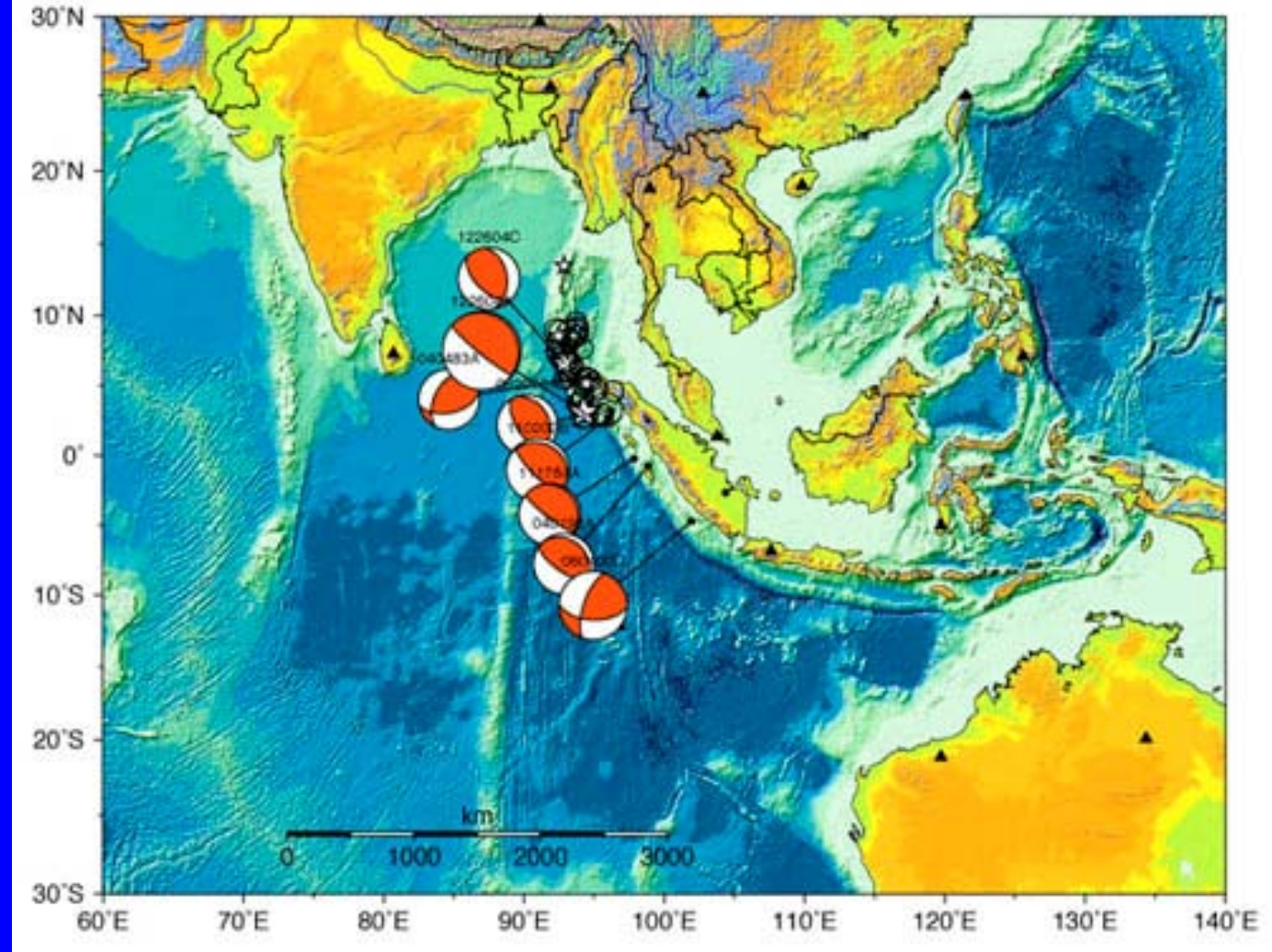


USGS, 1996

o geometrii zlomové
plochy vypovídají
i seismické vlny

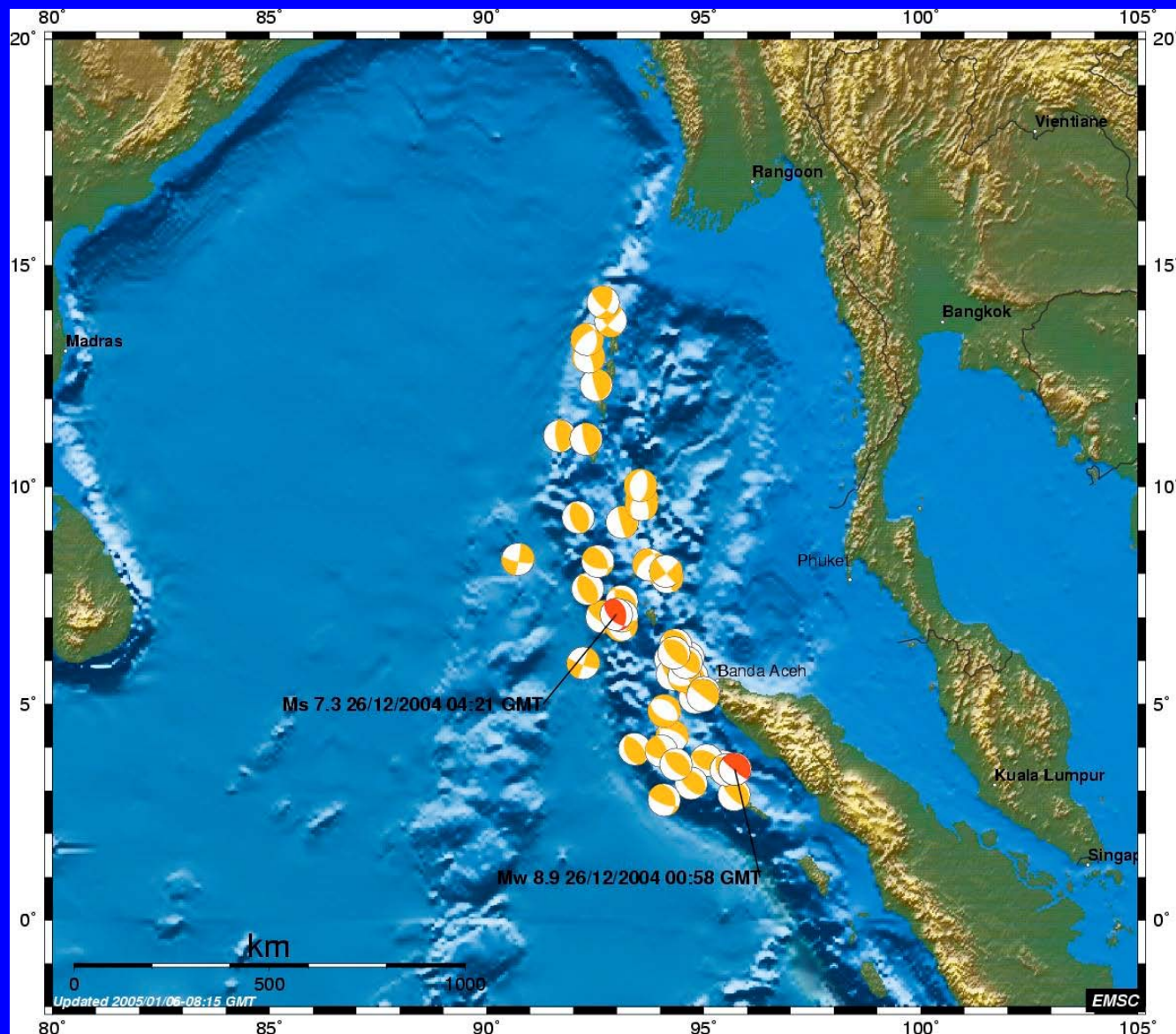
„mechanismus ohniska“
„momentový tenzor“

Mw 9.0 Earthquake on 12/26/2004 Off West Coast of Northern Sumatra



= typická aktuální témata dizertací u nás

Podrobnosti o velikosti a mechanismu



Problémy plynoucí z anomální velikosti tohoto z.

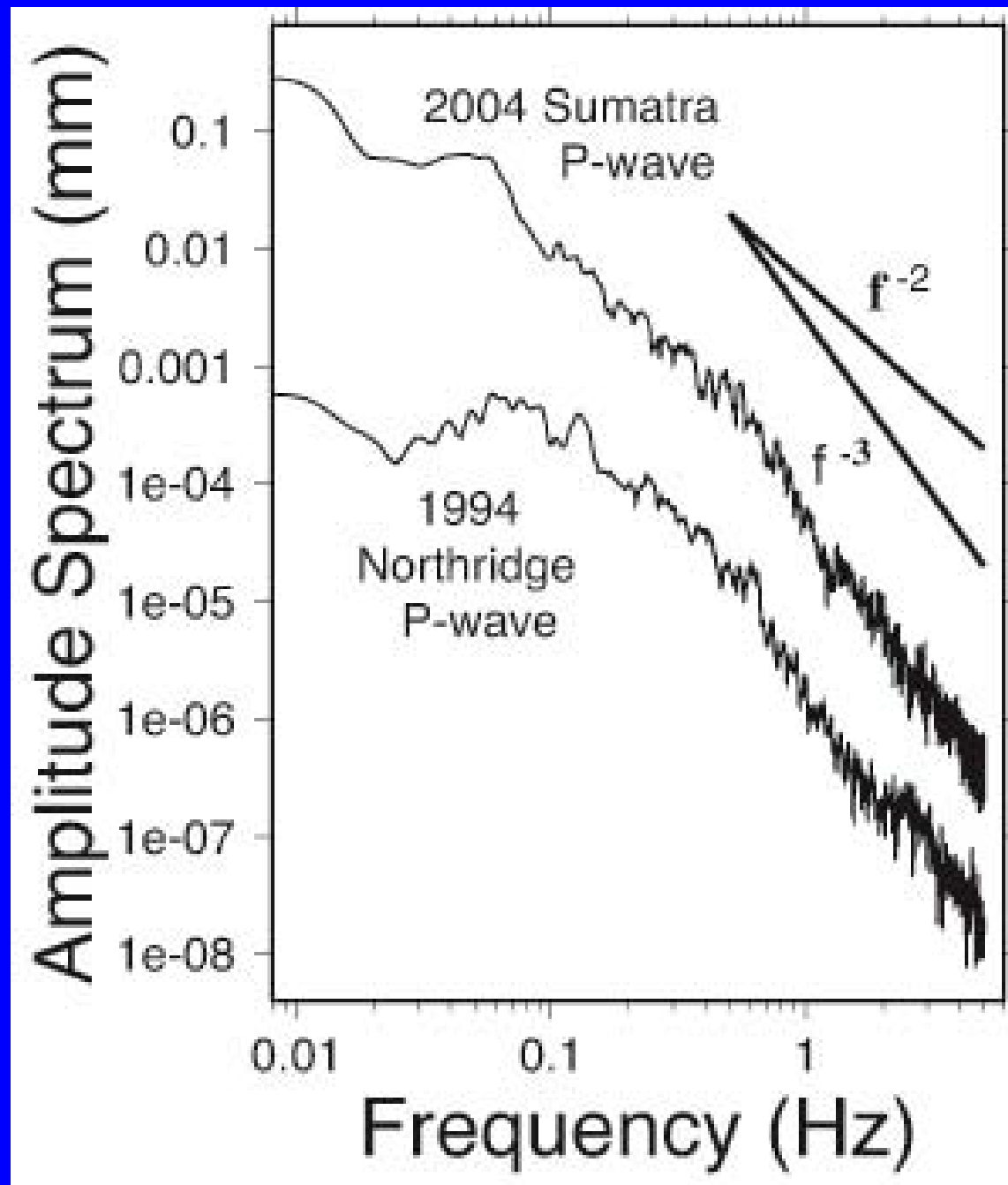
- První rutinní odhady podcenily velikost ($M \sim 8$)
- I když bylo magnitudo opraveno ($M=9$), nebylo krátce po z. jasné, jak velká je zlomová plocha a trhliny na ní

empirické vztahy:

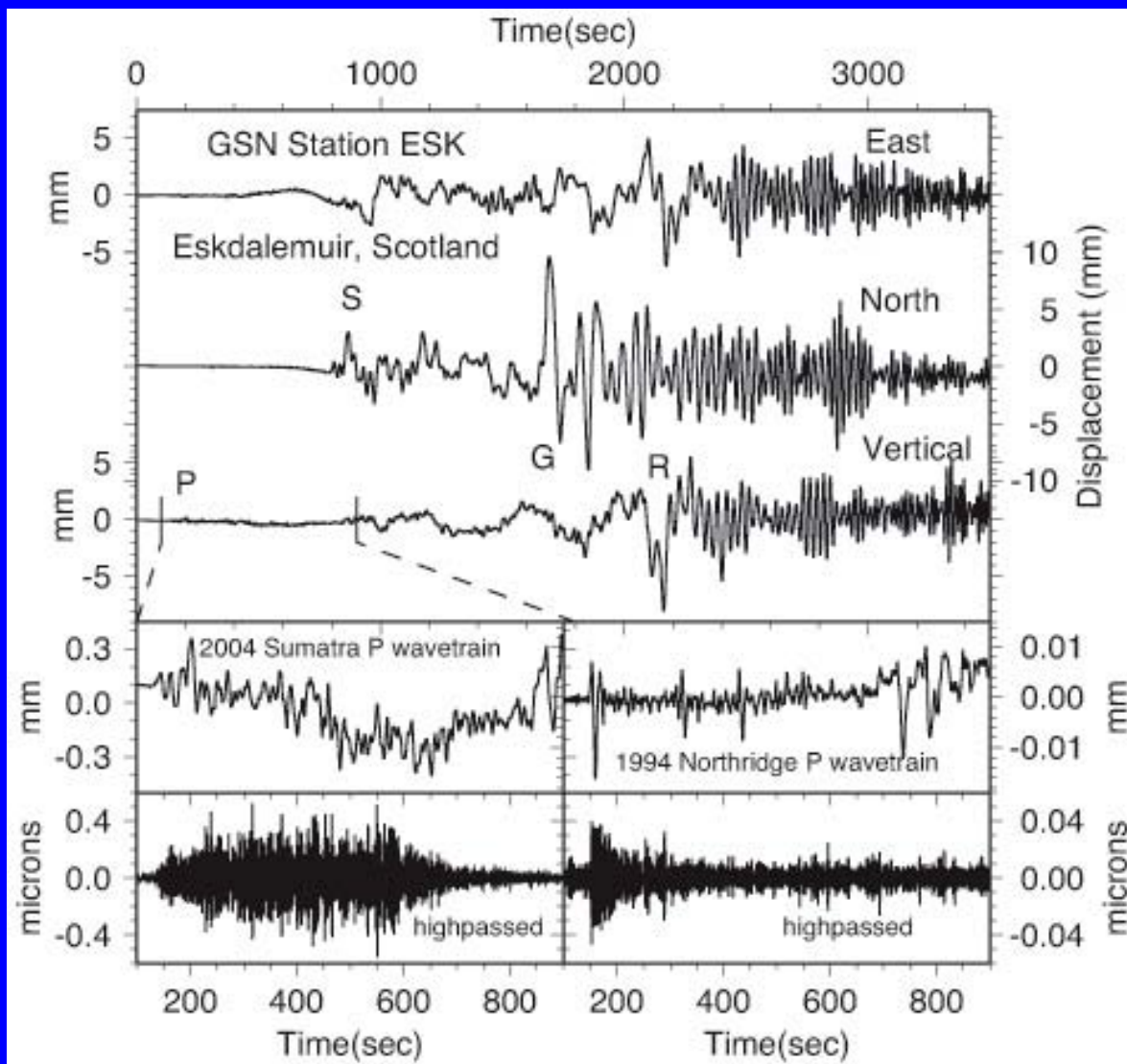
plocha zlomu $\sim 120\,000\text{ km}^2$

skluz $\sim 10\text{ m}$

ale platí empir. vztahy pro $M9$?



Sumatra M9.0
Northridge M6.7



Část 3

津波

tsu

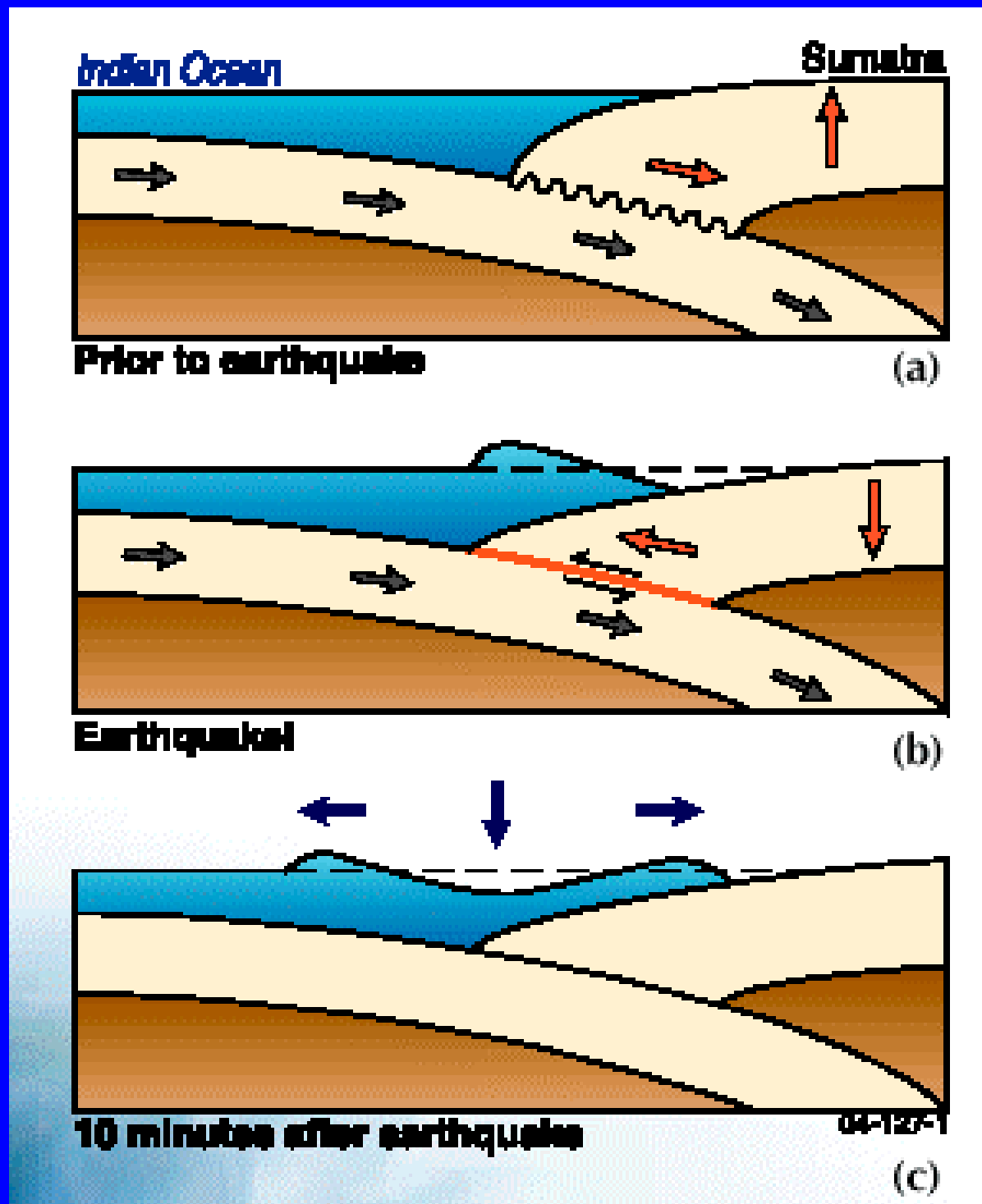
nami

přístav

vlna

Subdukce, zaklesnutí, zemětřesení a tsunami

na moři např.
vlnová délka 200 km
rychlost 800 km/hod
perioda 15 min



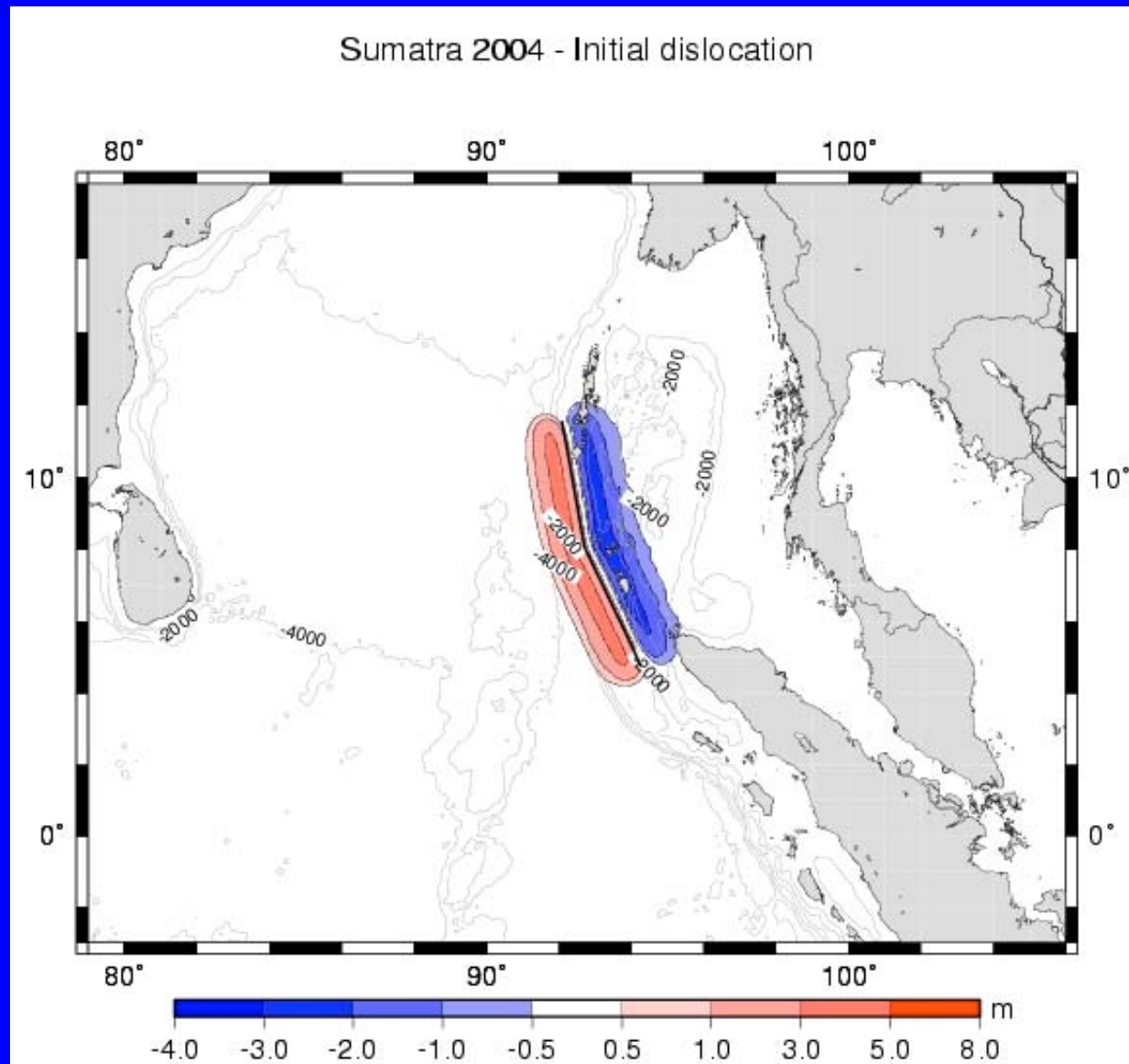
Tsunami - hydrodynamický popis

- Zachování hmoty a hybnosti
- Nestlačitelná ideální kapalina
- Rov. kontinuity a hydrodyn. Eulerova rov.
- Eulerův popis, totální derivace (advekce)
- Síly: gravitační a Coriolisova, tření na dně
- Nelineární rovnice pro tzv. gravitační vlny

- Dlouhovlnná aproximace $\lambda \gg d$, d je hloubka
- Pokud navíc aprox. malých amplitud $a \ll d$, jde o lineární problém, vln. rovnice, $c = (g d)^{1/2}$
- Pro lineární vlny konečné amplitudy dostáváme $c = (g [d+a])^{1/2}$, tvoří se strmé čelo vlny. Obecně je c funkcí periody, disperse.
- Obecné nelin. rovnice numericky (MKD), tuhé dno se pohne podle modelu seis. zdroje.

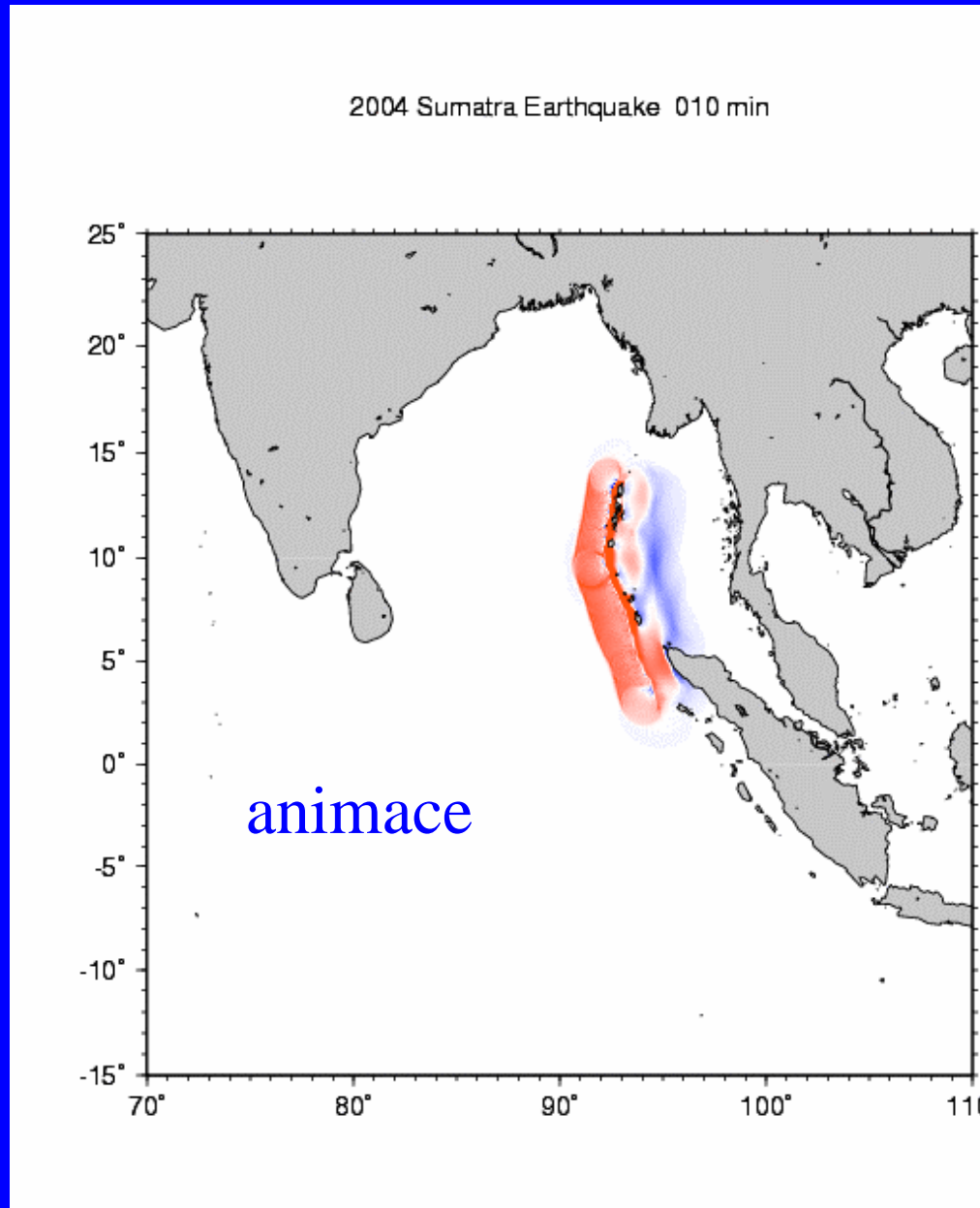
Vstup vln na pevninu je mnohem složitější.

Jednoduchý model posunutí dna (= vstup pro model tsunami)



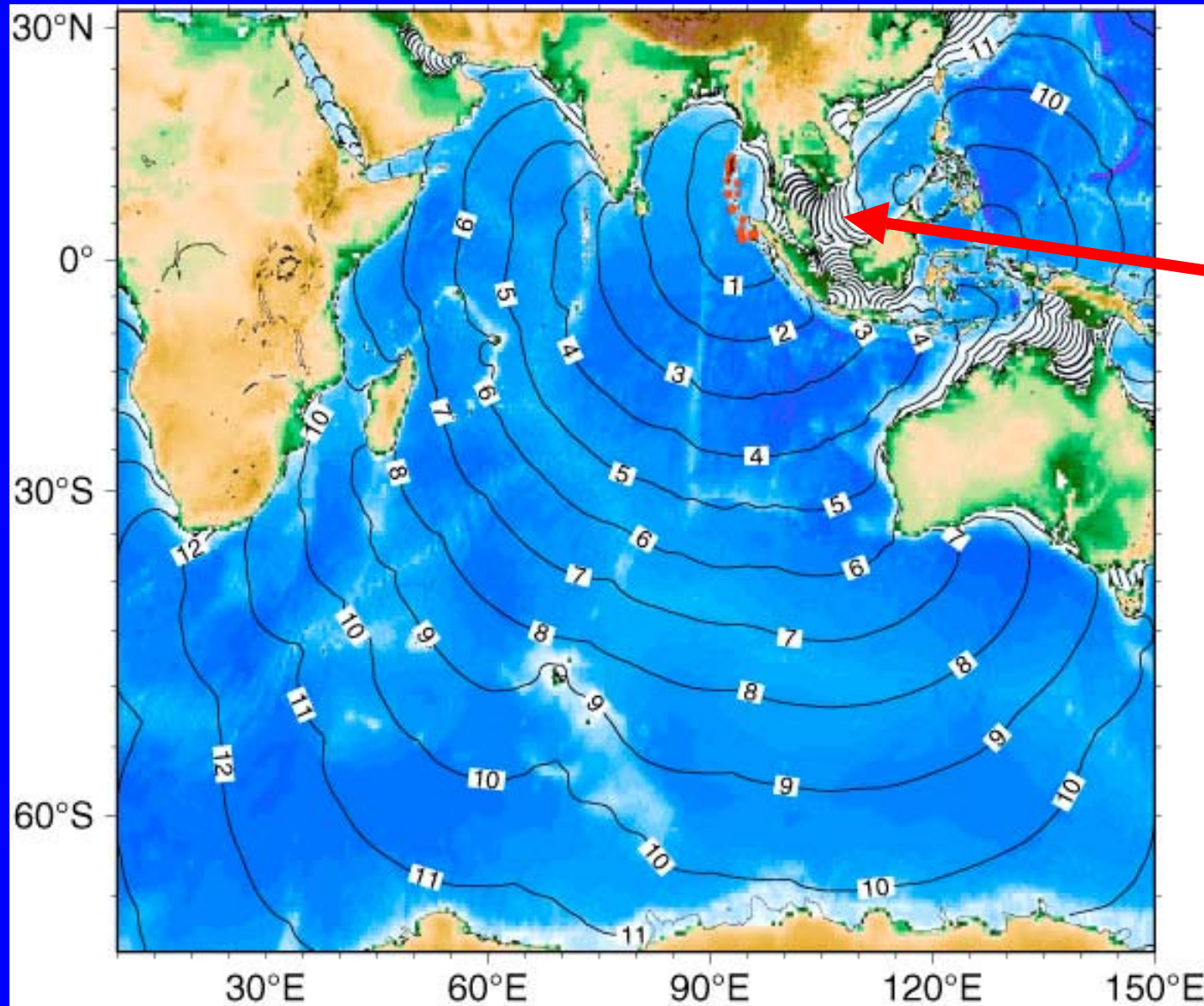
modře =
trvalý pokles

Jeden z mnoha výpočetních modelů tsunami



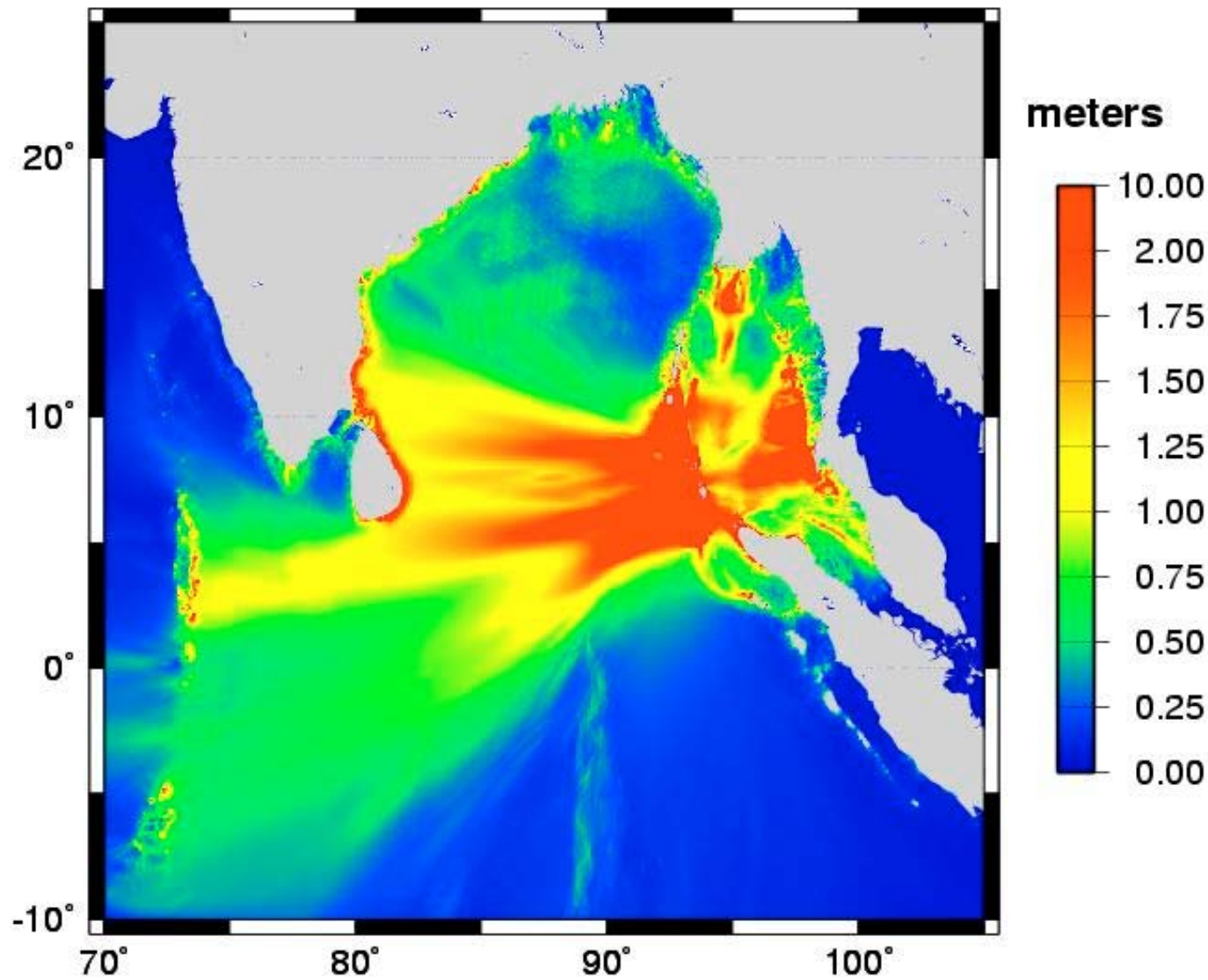
povšimněme si
časového údaje

jiné modely dávají jiné výsledky



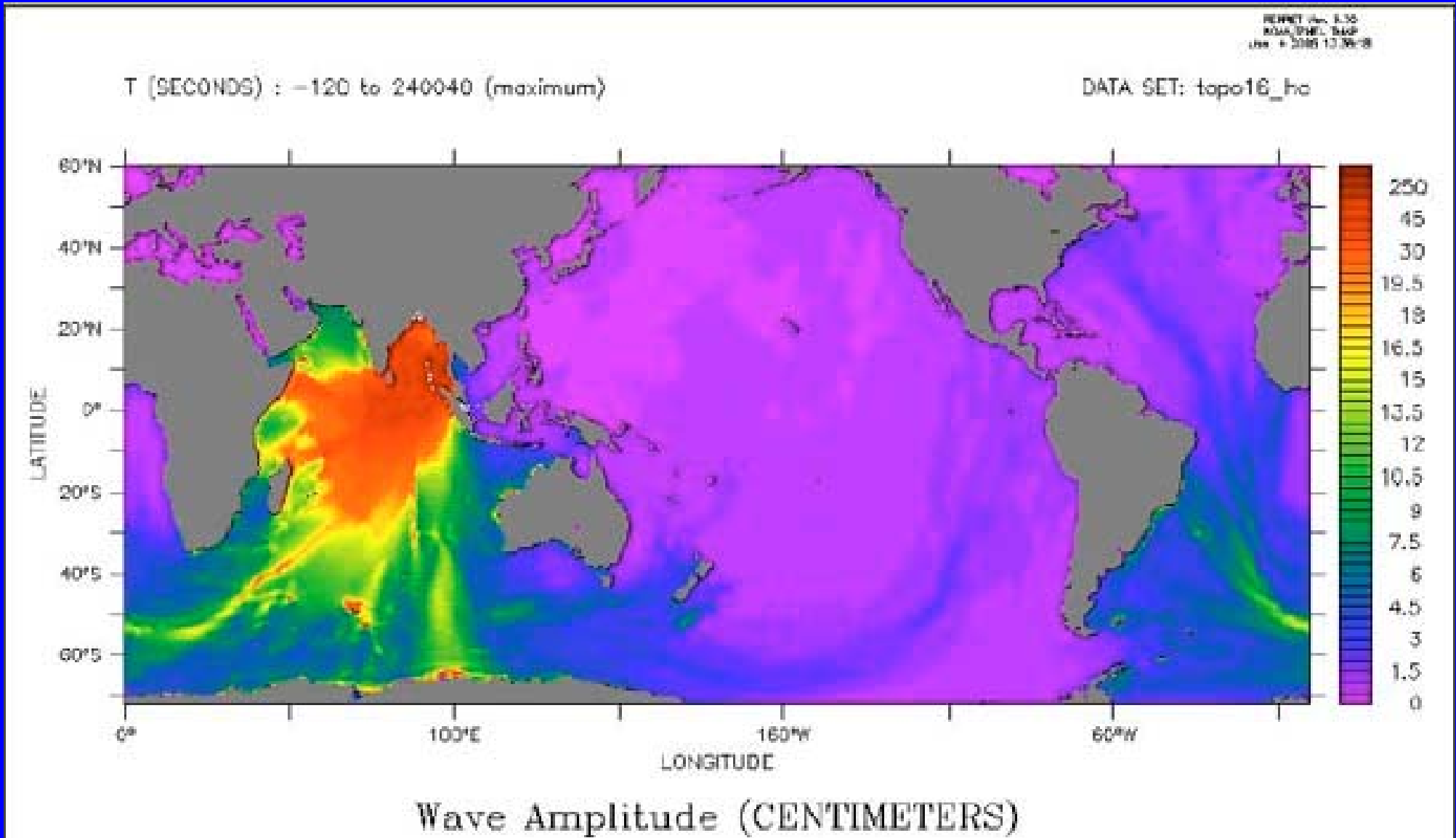
zpomalení
v mělkém moři

Maximum water elevation

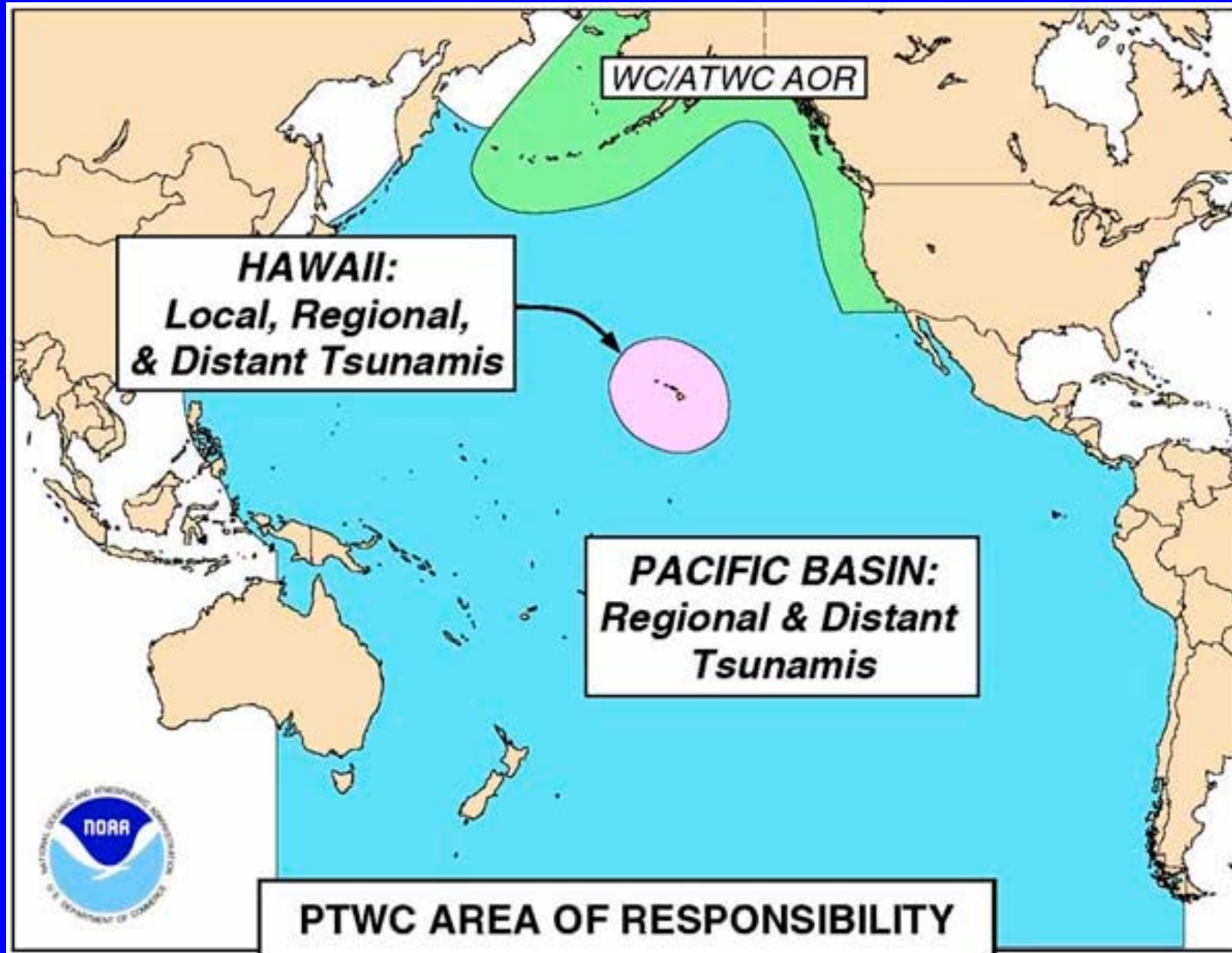


A.Piatanesi - INGV

Pacific Center (V. Titov)



Kde končí odpovědnost ?



Nestačilo by rozšířit hranice
odpovědnosti ?

TO - TSUNAMI WARNING SYSTEM PARTICIPANTS IN
ALASKA/BRITISH COLUMBIA/WASHINGTON/OREGON/CALIFORNIA
FROM - WEST COAST AND ALASKA TSUNAMI WARNING CENTER/NOAA/NWS
SUBJECT - TSUNAMI INFORMATION BULLETIN
BULLETIN NUMBER 1
ISSUED 12/26/2004 AT 0114 UTC

...THIS TSUNAMI INFORMATION BULLETIN IS FOR ALASKA - BRITISH
COLUMBIA - WASHINGTON - OREGON AND CALIFORNIA ONLY...

NO - REPEAT NO - WATCH OR WARNING IS IN EFFECT.

EARTHQUAKE DATA

PRELIMINARY MAGNITUDE - 8.0
LOCATION - 3.4N 95.7E - OFF W COAST OF NORTHERN SUMATERA
TIME - 1559 AST 12/25/2004
1659 PST 12/25/2004
0059 UTC 12/26/2004

EVALUATION

BASED ON LOCATION AND MAGNITUDE THE EARTHQUAKE WAS NOT
SUFFICIENT TO GENERATE A TSUNAMI DAMAGING TO CALIFORNIA -
OREGON - WASHINGTON - BRITISH COLUMBIA OR ALASKA. SOME AREAS MAY
EXPERIENCE SMALL SEA LEVEL CHANGES. IN AREAS OF INTENSE
SHAKING LOCALLY GENERATED TSUNAMIS CAN BE TRIGGERED BY SLUMPING.

THE PACIFIC TSUNAMI WARNING CENTER WILL ISSUE TSUNAMI BULLETINS
FOR HAWAII AND OTHER AREAS OF THE PACIFIC.

THIS WILL BE THE ONLY BULLETIN ISSUED FOR THIS EVENT BY THE
WEST COAST AND ALASKA TSUNAMI WARNING CENTER UNLESS CONDITIONS
WARRANT. REFER TO THE INTERNET SITE [HTTP://WCATWC.ARH.NOAA.GOV](http://WCATWC.ARH.NOAA.GOV)
FOR MORE INFORMATION.

BULLETIN NUMBER 2
ISSUED 12/26/2004 AT 0209 UTC

...THIS TSUNAMI INFORMATION BULLETIN IS FOR ALASKA - BRITISH
COLUMBIA - WASHINGTON - OREGON AND CALIFORNIA ONLY...

NO - REPEAT NO - WATCH OR WARNING IS IN EFFECT.

Revised magnitude based analysis of mantle waves.
This earthquake is located outside of the Pacific. No destructive tsunami threat
exists for the Pacific basin based on historical earthquake and tsunami data.

EARTHQUAKE DATA

PRELIMINARY MAGNITUDE - 8.5
LOCATION - 3.4N 95.7E - OFF W COAST OF NORTHERN SUMATERA
TIME - 1559 AST 12/25/2004
1659 PST 12/25/2004
0059 UTC 12/26/2004

EVALUATION

BASED ON LOCATION AND MAGNITUDE THE EARTHQUAKE WAS NOT
SUFFICIENT TO GENERATE A TSUNAMI DAMAGING TO CALIFORNIA -
OREGON - WASHINGTON - BRITISH COLUMBIA OR ALASKA. SOME AREAS MAY
EXPERIENCE SMALL SEA LEVEL CHANGES. IN AREAS OF INTENSE
SHAKING LOCALLY GENERATED TSUNAMIS CAN BE TRIGGERED BY SLUMPING.

THE PACIFIC TSUNAMI WARNING CENTER WILL ISSUE TSUNAMI BULLETINS
FOR HAWAII AND OTHER AREAS OF THE PACIFIC.

THIS WILL BE THE ONLY BULLETIN ISSUED FOR THIS EVENT BY THE
WEST COAST AND ALASKA TSUNAMI WARNING CENTER UNLESS CONDITIONS
WARRANT. REFER TO THE INTERNET SITE [HTTP://WCATWC.ARH.NOAA.GOU](http://WCATWC.ARH.NOAA.GOU)
FOR MORE INFORMATION.

BULLETIN NUMBER 3

ISSUED 12/27/2004 AT 1534 UTC

...THIS TSUNAMI INFORMATION BULLETIN IS FOR ALASKA - BRITISH
COLUMBIA - WASHINGTON - OREGON AND CALIFORNIA ONLY...

NO - REPEAT NO - WATCH OR WARNING IS IN EFFECT.

EARTHQUAKE DATA

PRELIMINARY MAGNITUDE - 9.0

LOCATION - 3.4N 95.7E - OFF W COAST OF NORTHERN SUMATERA

TIME - 1559 AST 12/25/2004

1659 PST 12/25/2004

0059 UTC 12/26/2004

EVALUATION

SOME ENERGY FROM YESTERDAYS TSUNAMI IN THE INDIAN OCEAN HAS
LEAKED INTO THE PACIFIC BASIN... PROBABLY FROM SOUTH OF THE
AUSTRALIAN CONTINENT. THIS ENERGY HAS PRODUCED MINOR SEA
LEVEL FLUCTUATIONS AT MANY PLACES IN THE PACIFIC. FOR
EXAMPLE...

50 CM CREST-TO-TROUGH AT CALLAO CHILE

19 CM CREST-TO-TROUGH AT IQUIQUE CHILE

13 CM CREST-TO-TROUGH AT PAGO PAGO AMERICAN SAMOA

11 CM CREST-TO-TROUGH AT SUVA FIJI

50 CM CREST-TO-TROUGH AT WAITANGI CHATHAM IS. NEW ZEALAND

65 CM CREST-TO-TROUGH AT JACKSON BAY NEW ZEALAND

18 CM CREST-TO-TROUGH AT PORT VILA VANUATU

06 CM CREST-TO-TROUGH AT HILO HAWAII USA

22 CM CREST-TO-TROUGH AT SAN DIEGO CALIFORNIA USA

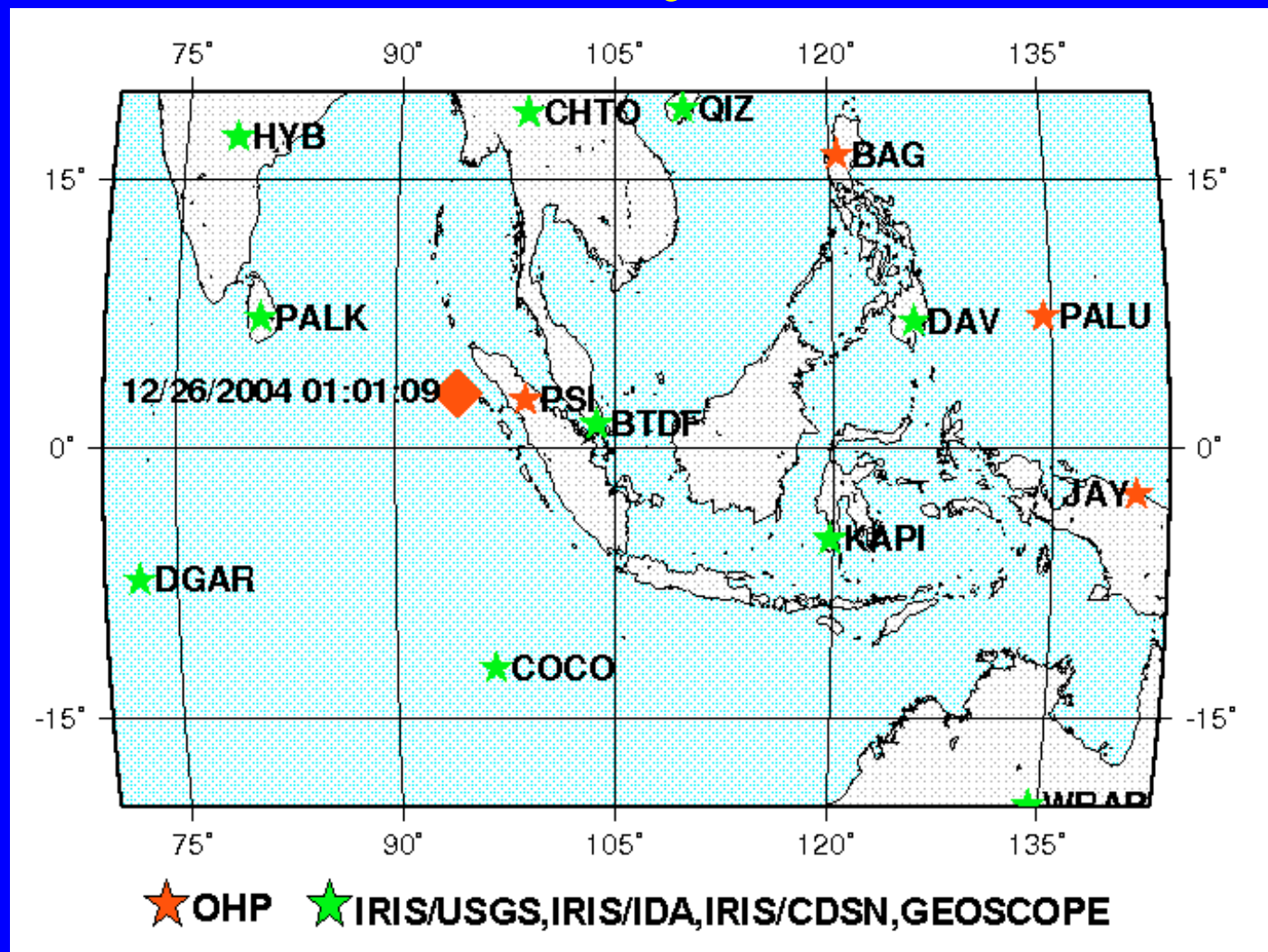
HOWEVER... AT MANZANILLO MEXICO SEA LEVEL FLUCTUATIONS WERE AS MUCH AS 2.6 METERS CREST-TO-TROUGH... PROBABLY DUE TO FOCUSING OF ENERGY BY THE EAST PACIFIC RISE AS WELL AS LOCAL RESONANCES.

THIS IS TO ADVISE THAT SMALL SEA LEVEL CHANGES COULD CONTINUE TO BE OBSERVED ACROSS THE PACIFIC FOR THE NEXT DAY OR TWO UNTIL ALL ENERGY FROM THIS EVENT IS EVENTUALLY DISSIPATED.

THE PACIFIC TSUNAMI WARNING CENTER WILL ISSUE TSUNAMI BULLETINS FOR HAWAII AND OTHER AREAS OF THE PACIFIC.

THIS WILL BE THE ONLY BULLETIN ISSUED FOR THIS EVENT BY THE WEST COAST AND ALASKA TSUNAMI WARNING CENTER UNLESS CONDITIONS WARRANT. REFER TO THE INTERNET SITE [HTTP://WCATWC.ARH.NOAA.GOV](http://WCATWC.ARH.NOAA.GOV) FOR MORE INFORMATION.

Mohly by být existující seismické stanice základem lepšího varovného systému ?



Část 4

Podrobnější modely zlomového
procesu

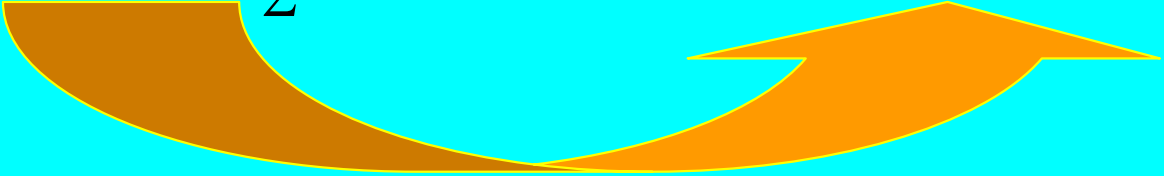
u ... elast. posunutí (seis. vlna)

Σ ... zlomová plocha

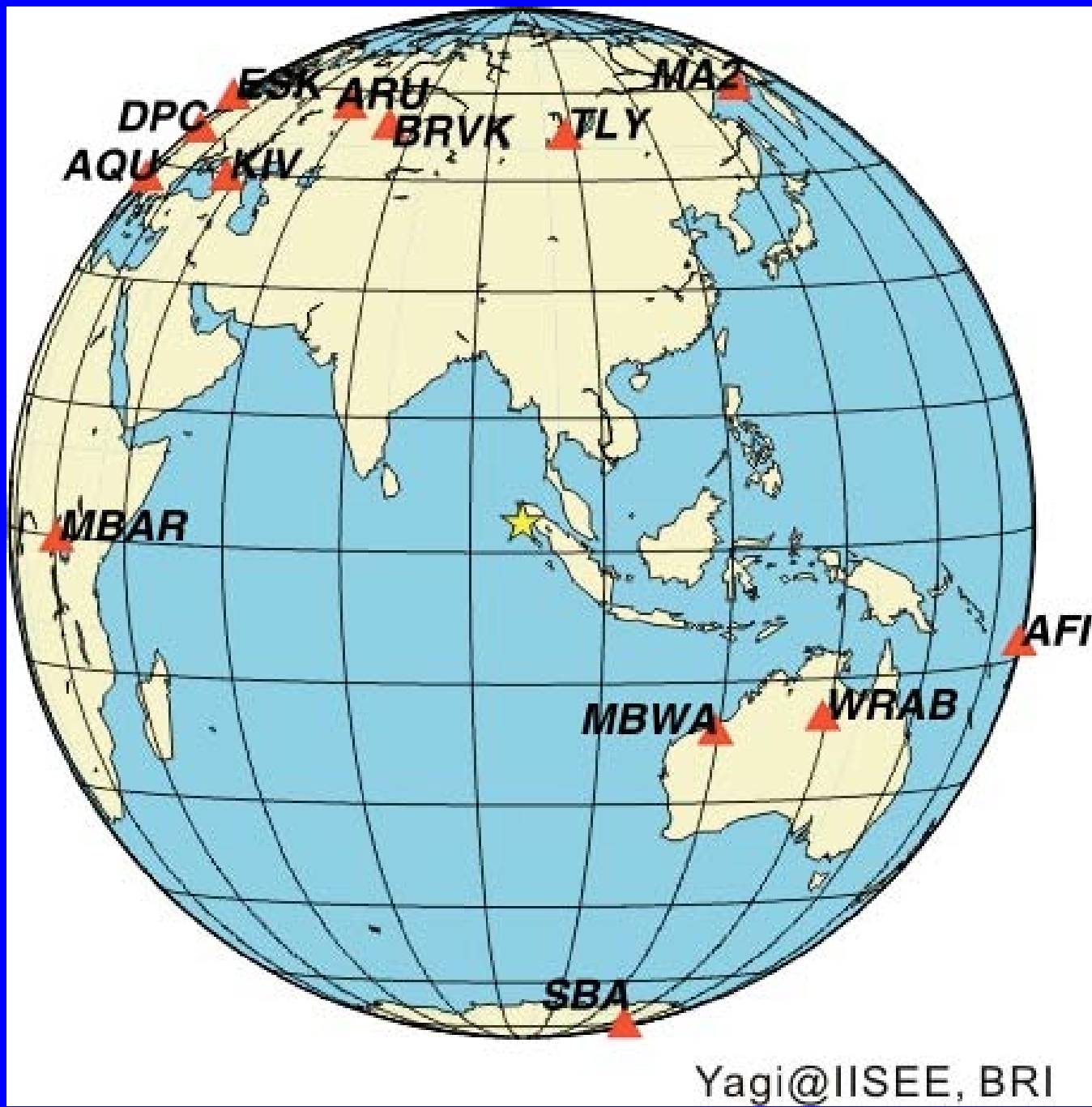
$[u]$... nespojitost posunutí (trhlina) na Σ

Γ ... Greenův tenzor

$$c_{ijkl} [u_k(x_i, t)] \nu_l = m_{ij}$$

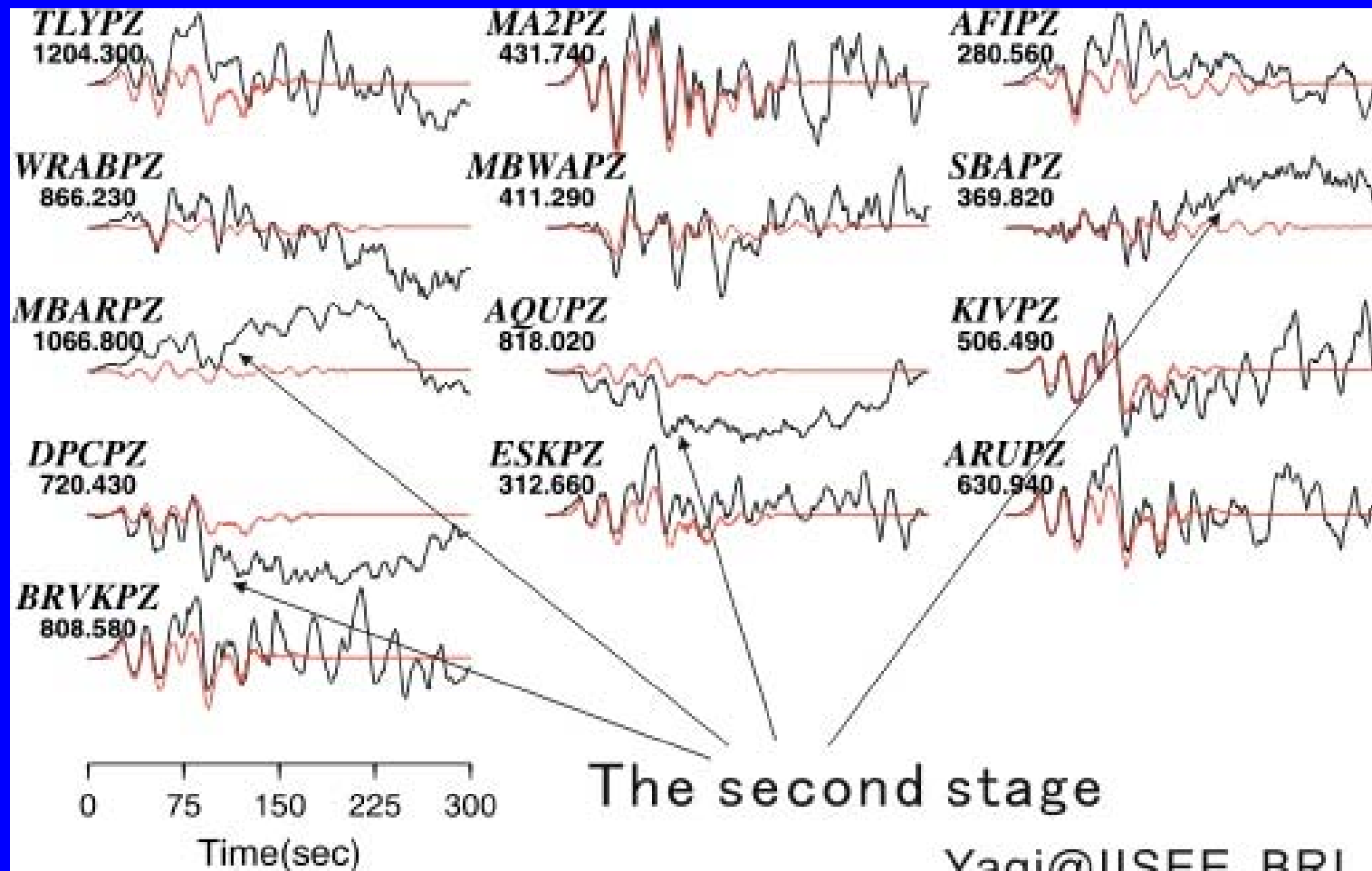
$$u_i = \left(\int_{\Sigma} m_{pq} d\Sigma \right) * G_{ip,q} = M_{pq} * G_{ip,q}$$


Tzv. obrácená úloha
„od vln zpět ke zlomu“



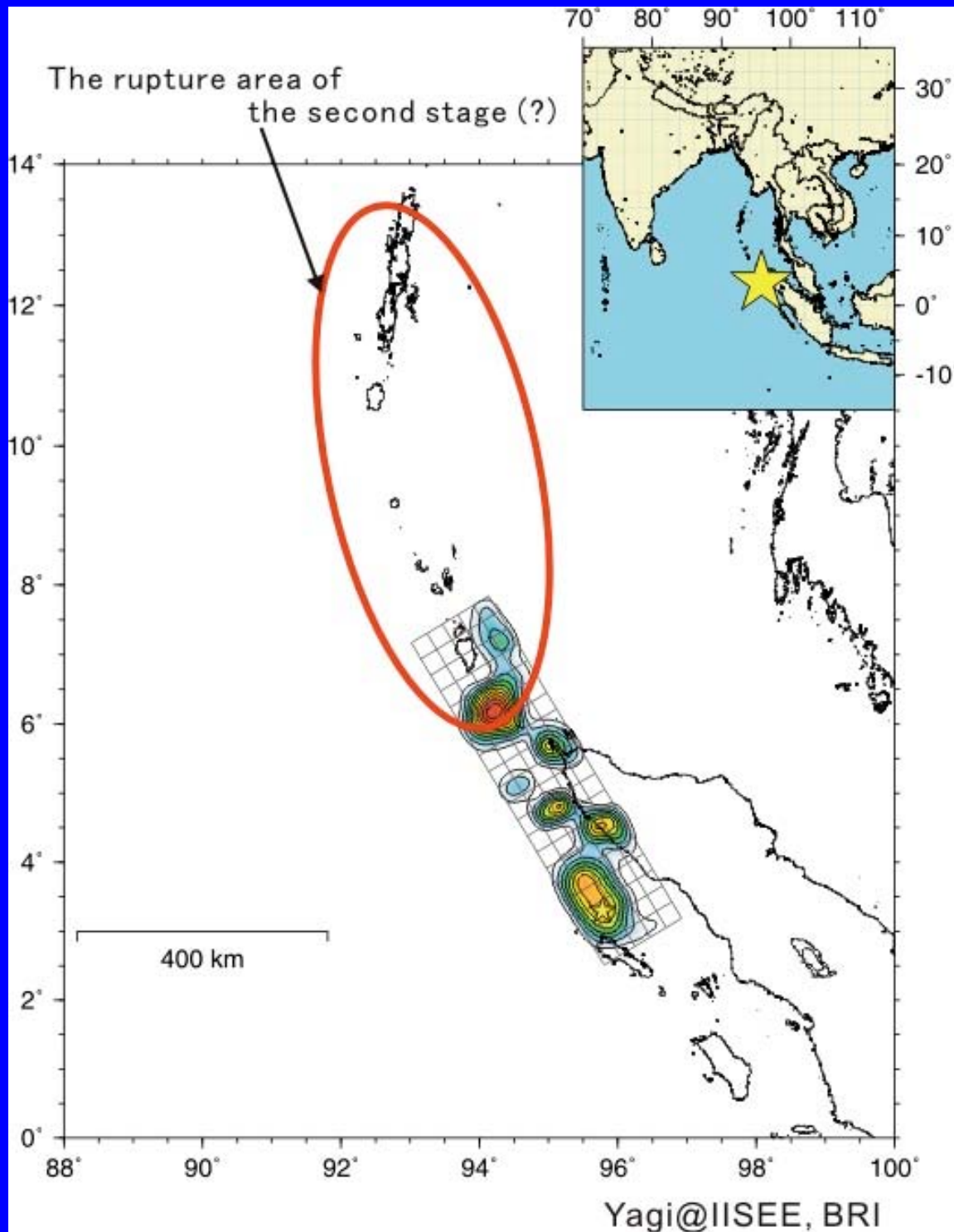
Yagi@IISEE, BRI

Od seismogramů k rozložení trhlin na zlomové ploše



Yagi@IISEE, BRI

Yagi modeluje jen jižní část zlomu (M8.4)

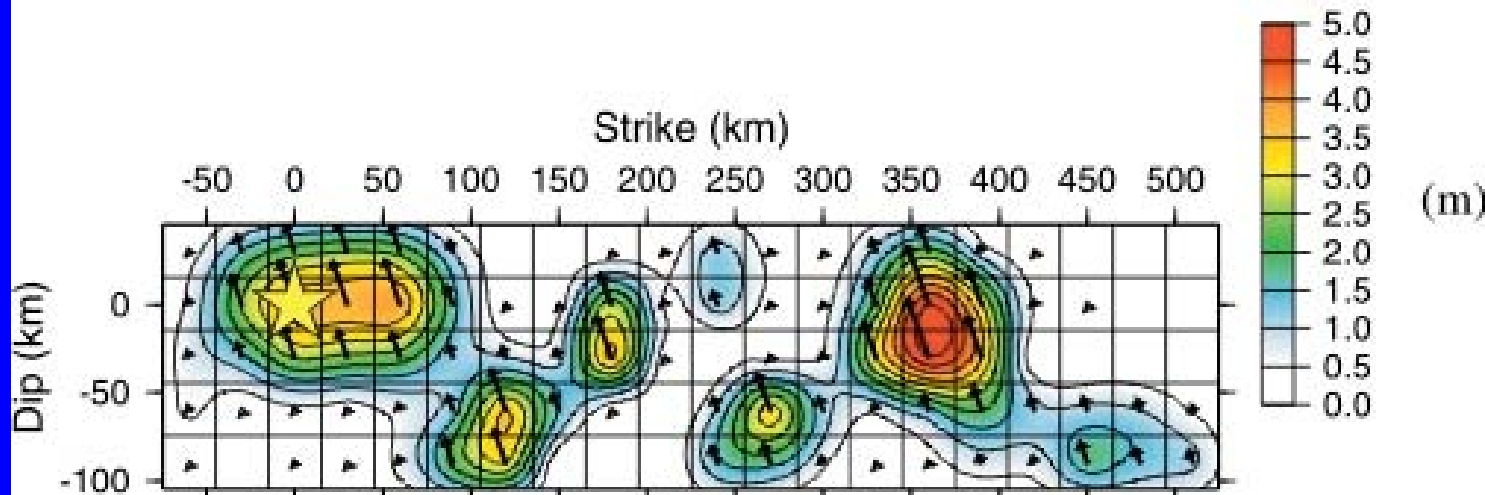
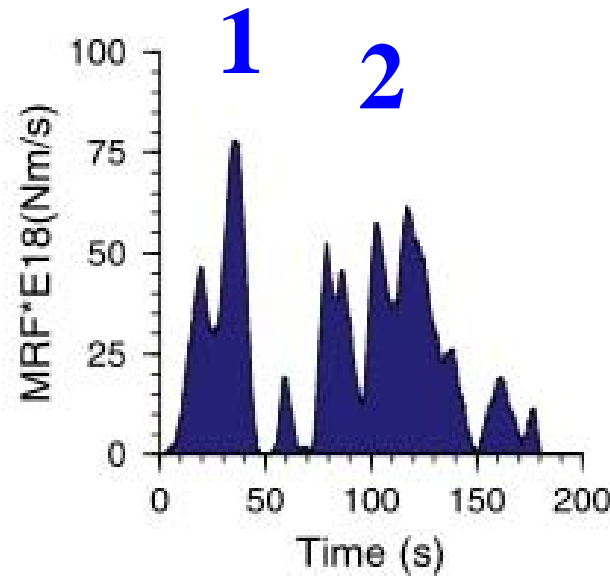


červeně =
možná tzv. „pomalé z.“
velký ale pomalý skluz
(bez vyvolání seis. vln)

Přerušovaný proces, vícenásobné z.

OFF COAST OF NORTHERN SUMATRA

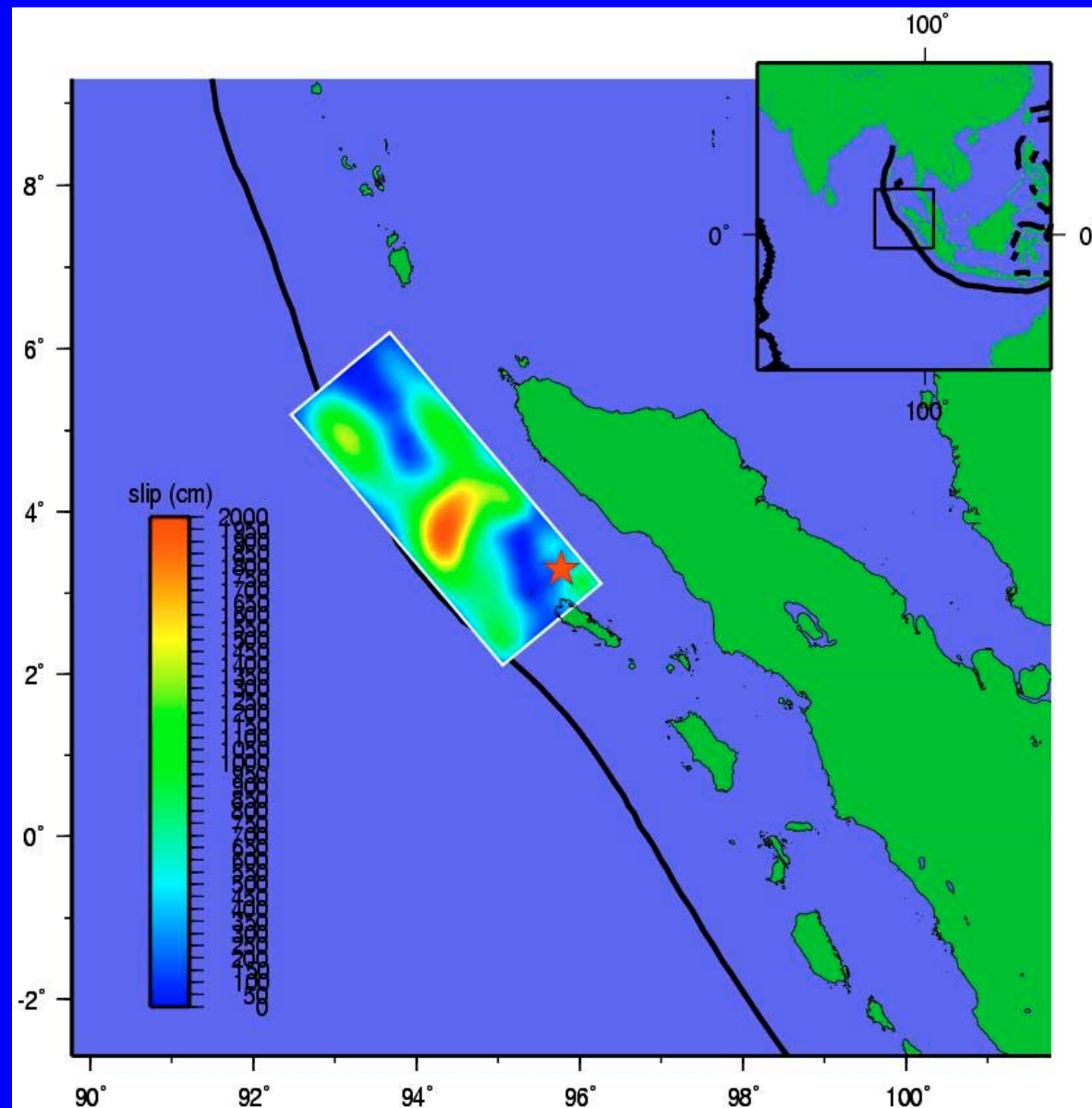
Moment = $0.4461\text{E}+22(\text{Nm})$, $M_w = 8.4$
(Strike,Dip,Slip) = (329.0, 15.0, 110.0)



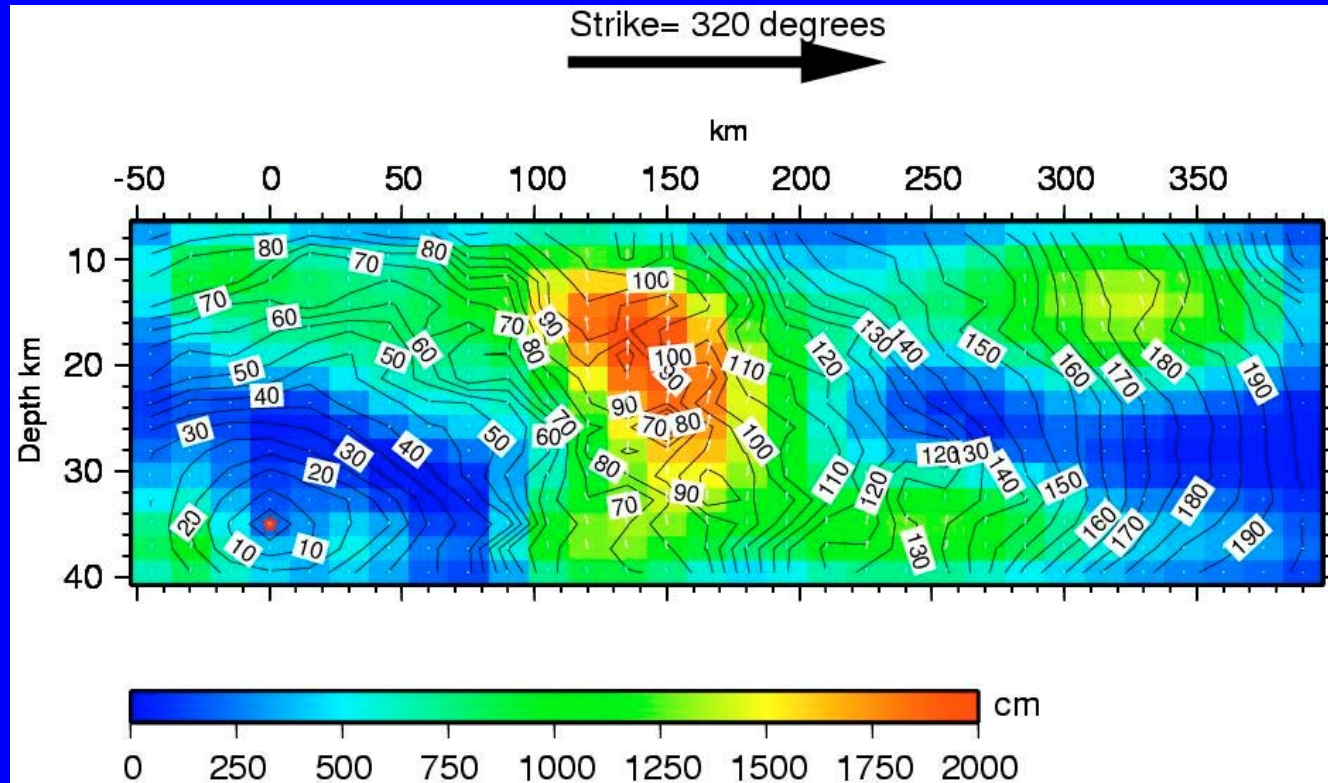
Jev 2
„spuštěn“
jevem 1?

a jiný model (CALTECH) ...

největší skluz
(asperita)
poblíž místa
kde zlom mění
azimut



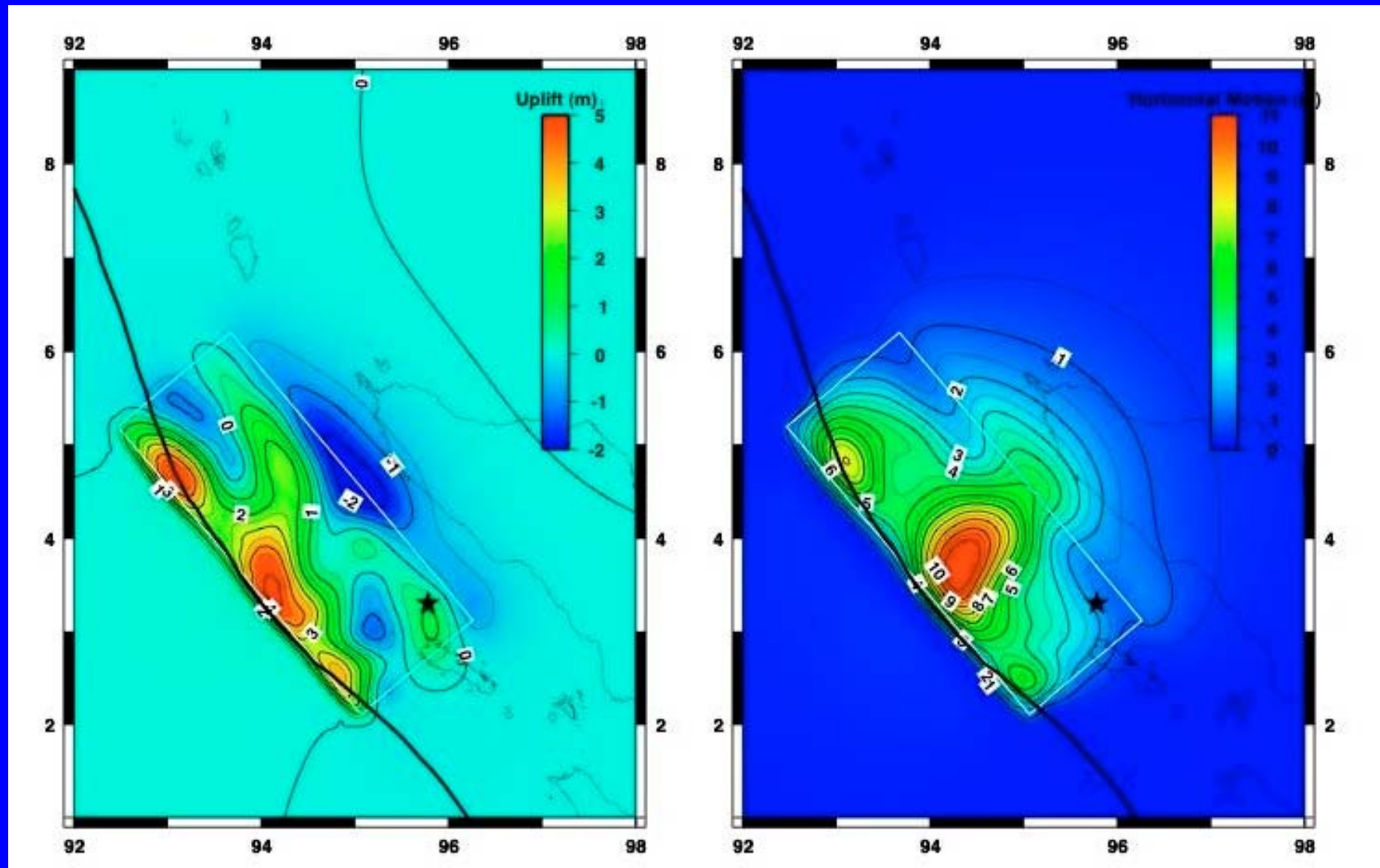
Tento model dává max. skluz 20m (barva)



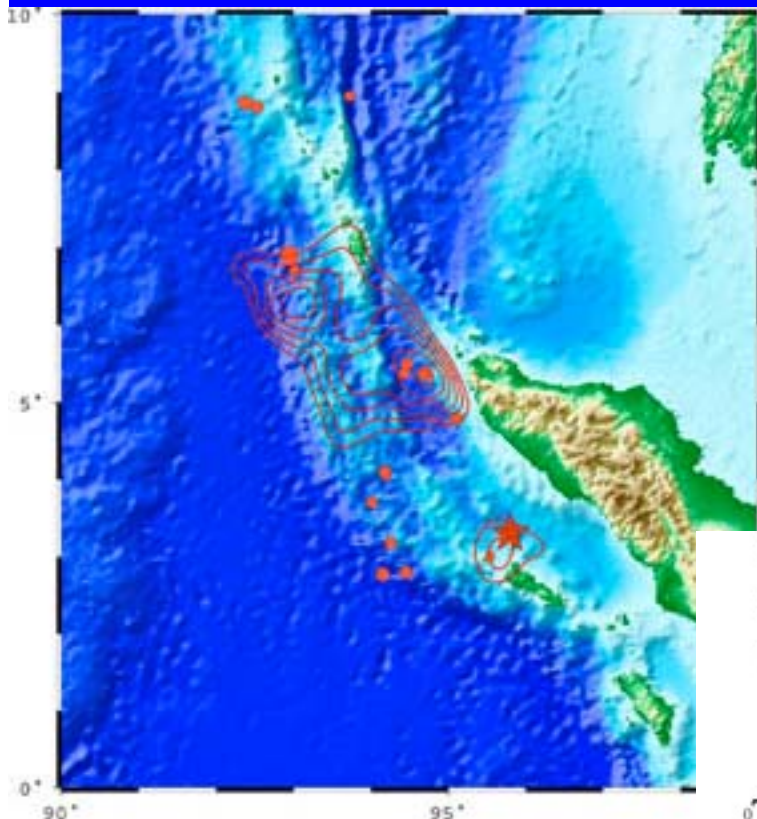
a rychlost šíření trhliny ~ 2 km/sec
(izočáry)

umělé zhlazení (num. stabilizace)

Výsledné vert. a horiz. trvalé posunutí povrchu (resp. dna)



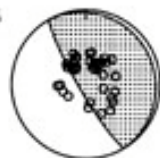
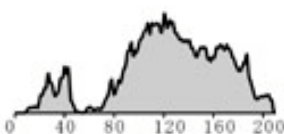
... a ještě další model ...



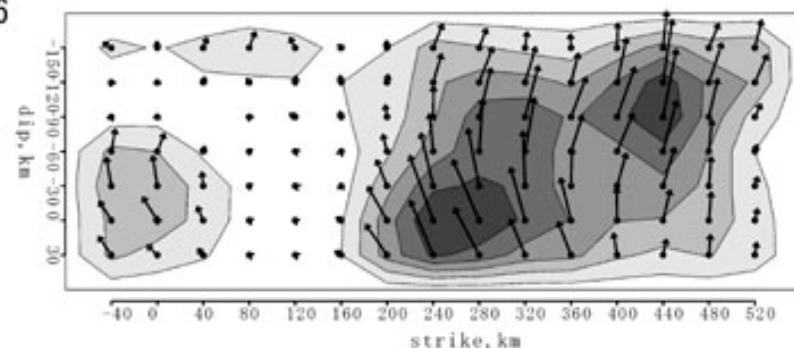
W. COAST OF N. SUMATRA 04/12/26

$M_0 = 0.176E+23 \text{ Nm}$ $M_w = 8.76$

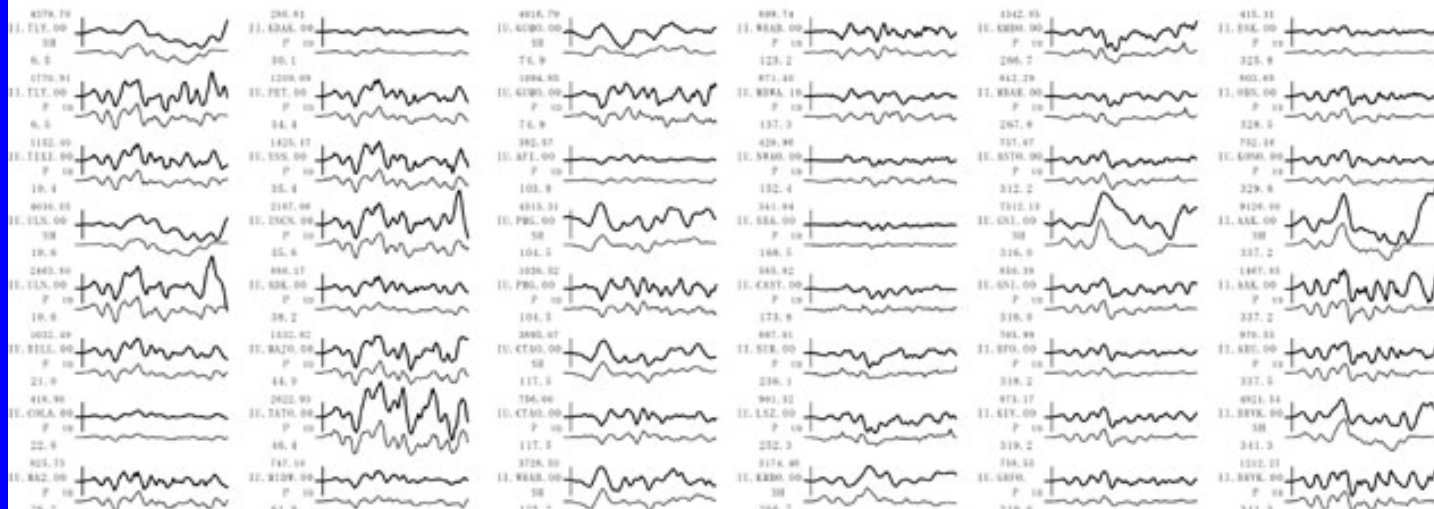
$H = 32.0 \text{ km}$ var. = 0.6046



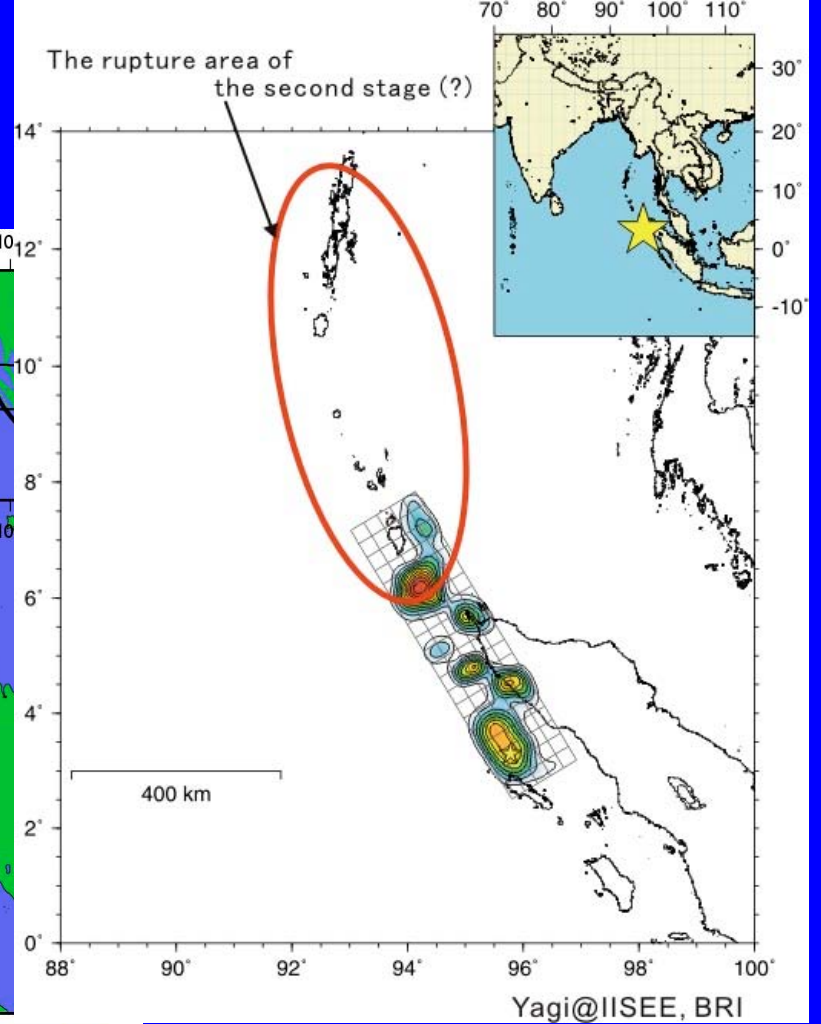
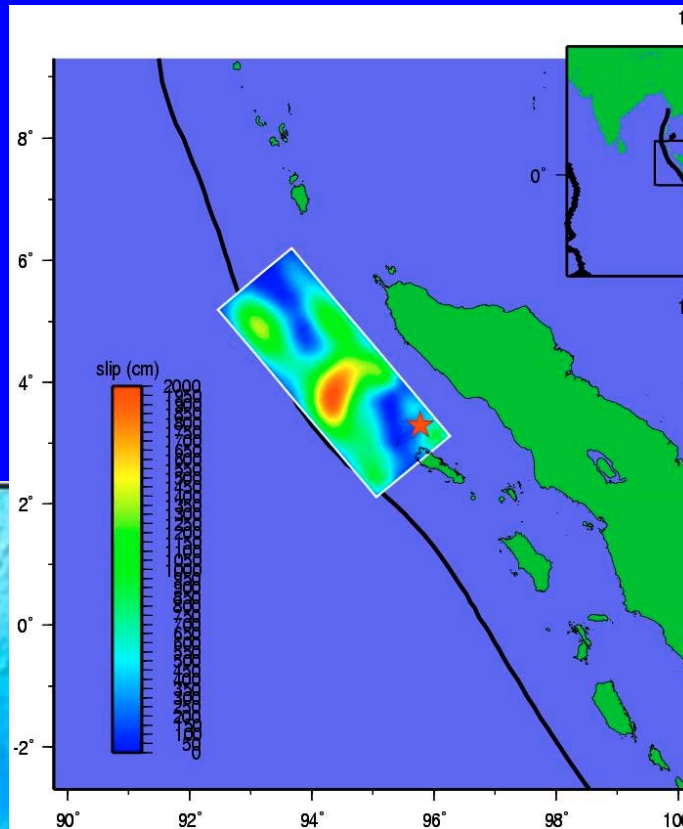
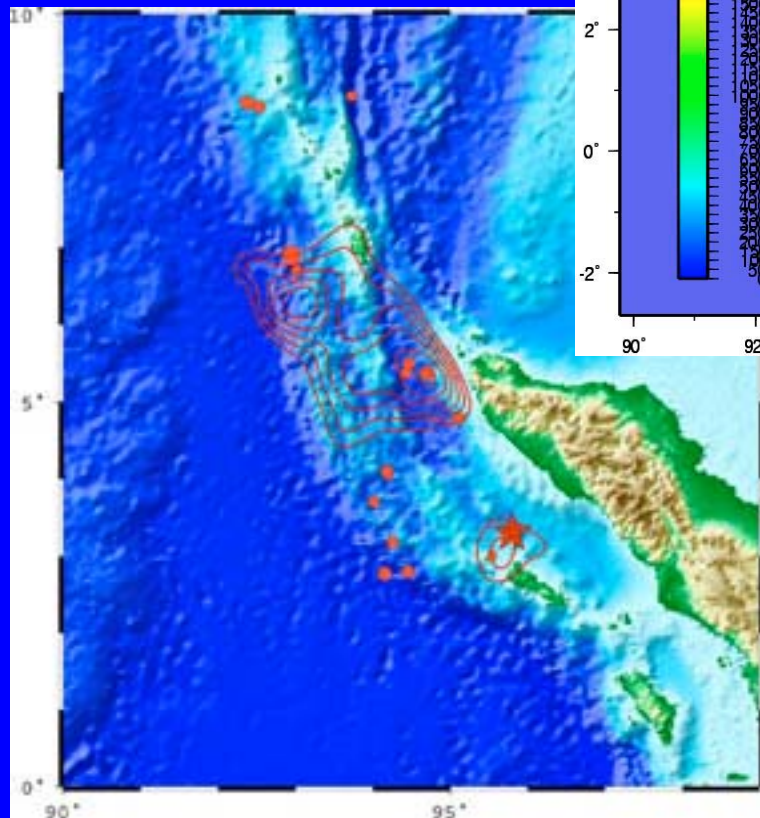
(330., 8., 90.)



0 40 80 120 160 200



Srovnání:



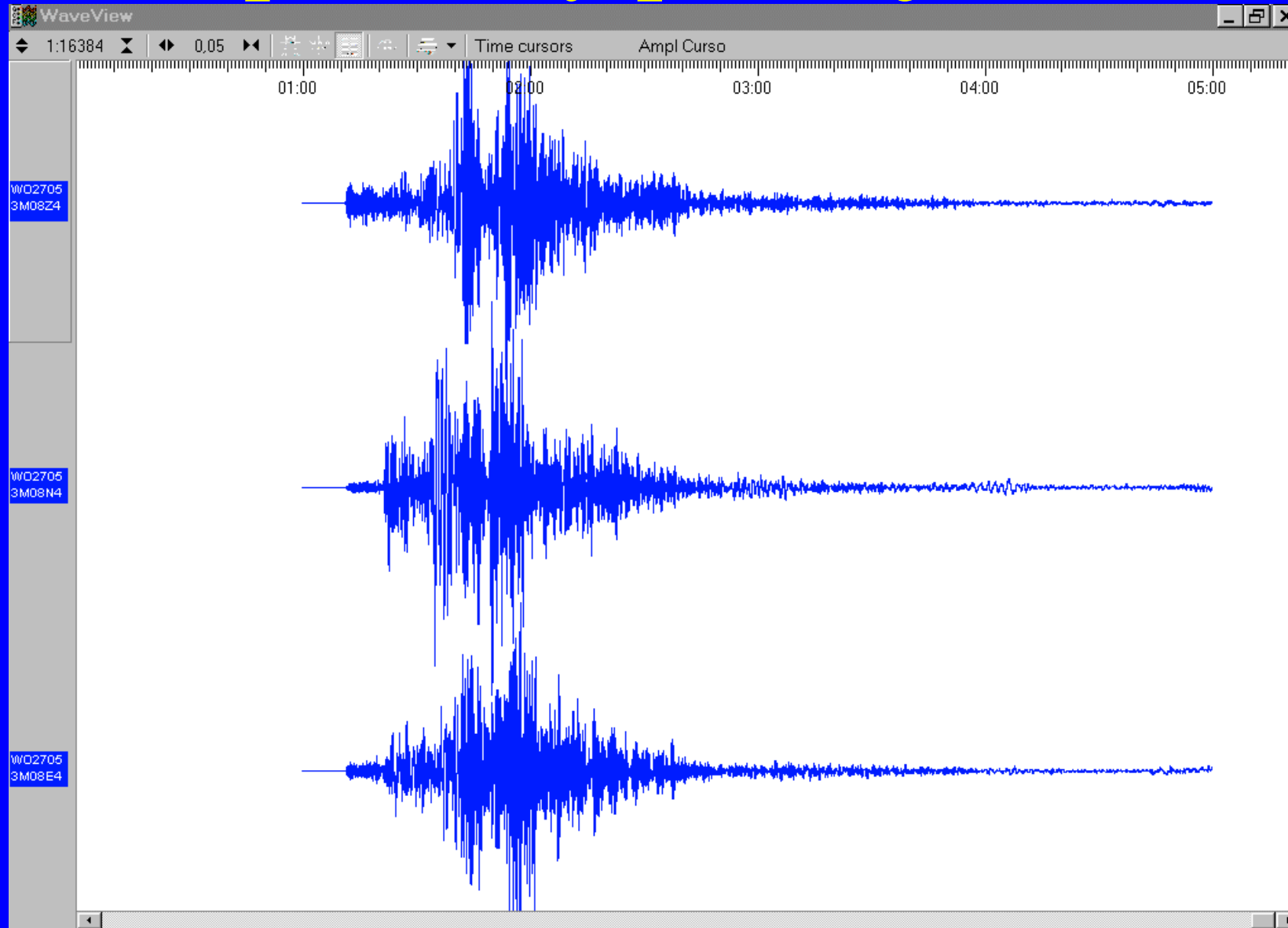
Modely zlomu doznají další změny. Jsou naprosto zásadní pro pochopení a pro simulace podobných budoucích jevů.

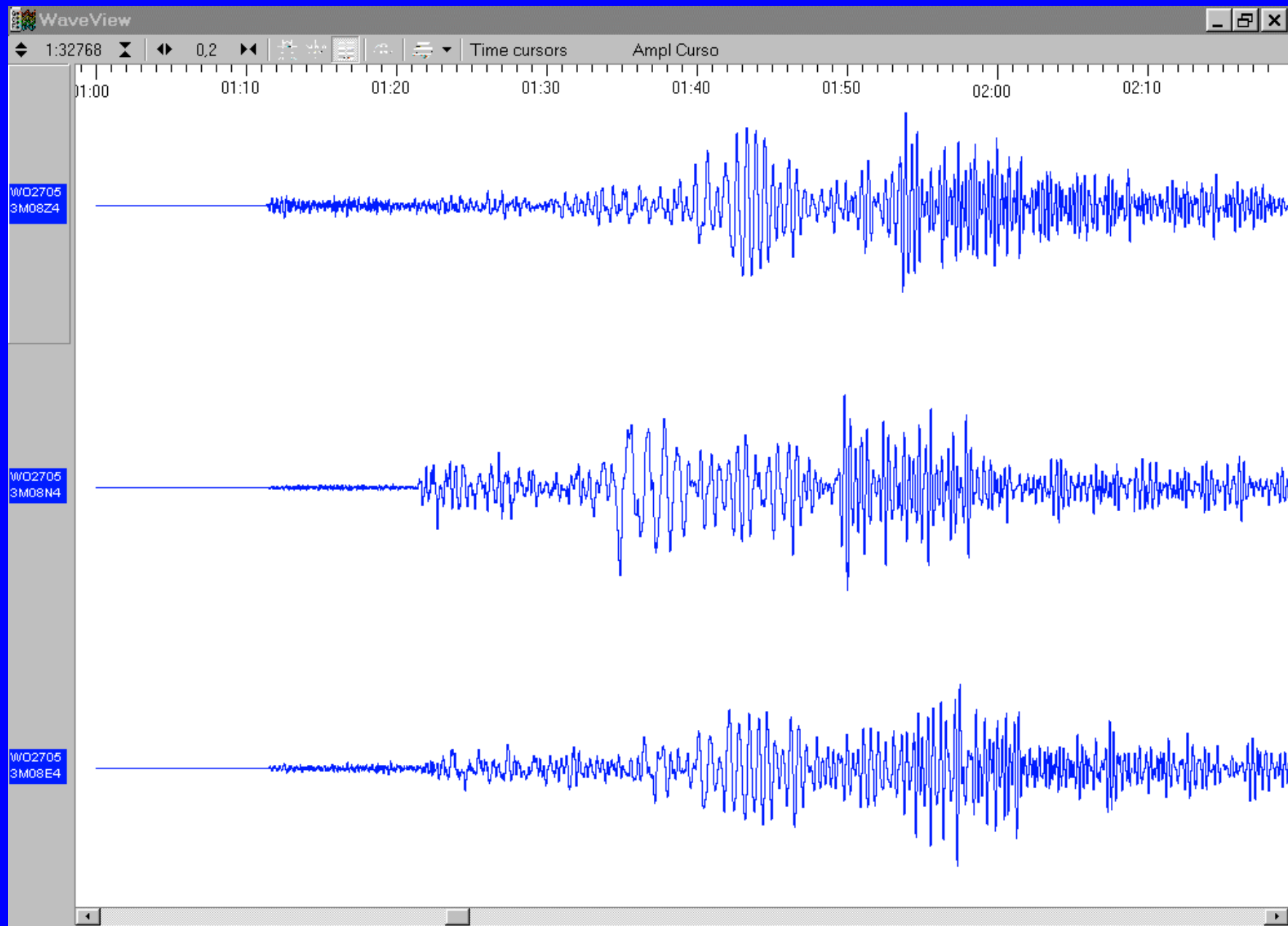
Jeden typ snadno dostupných údajů bude hrát velkou roli: pokles pevniny který můžeme mapovat ze snímků trvale zatopeného území !

Zajímavost 1

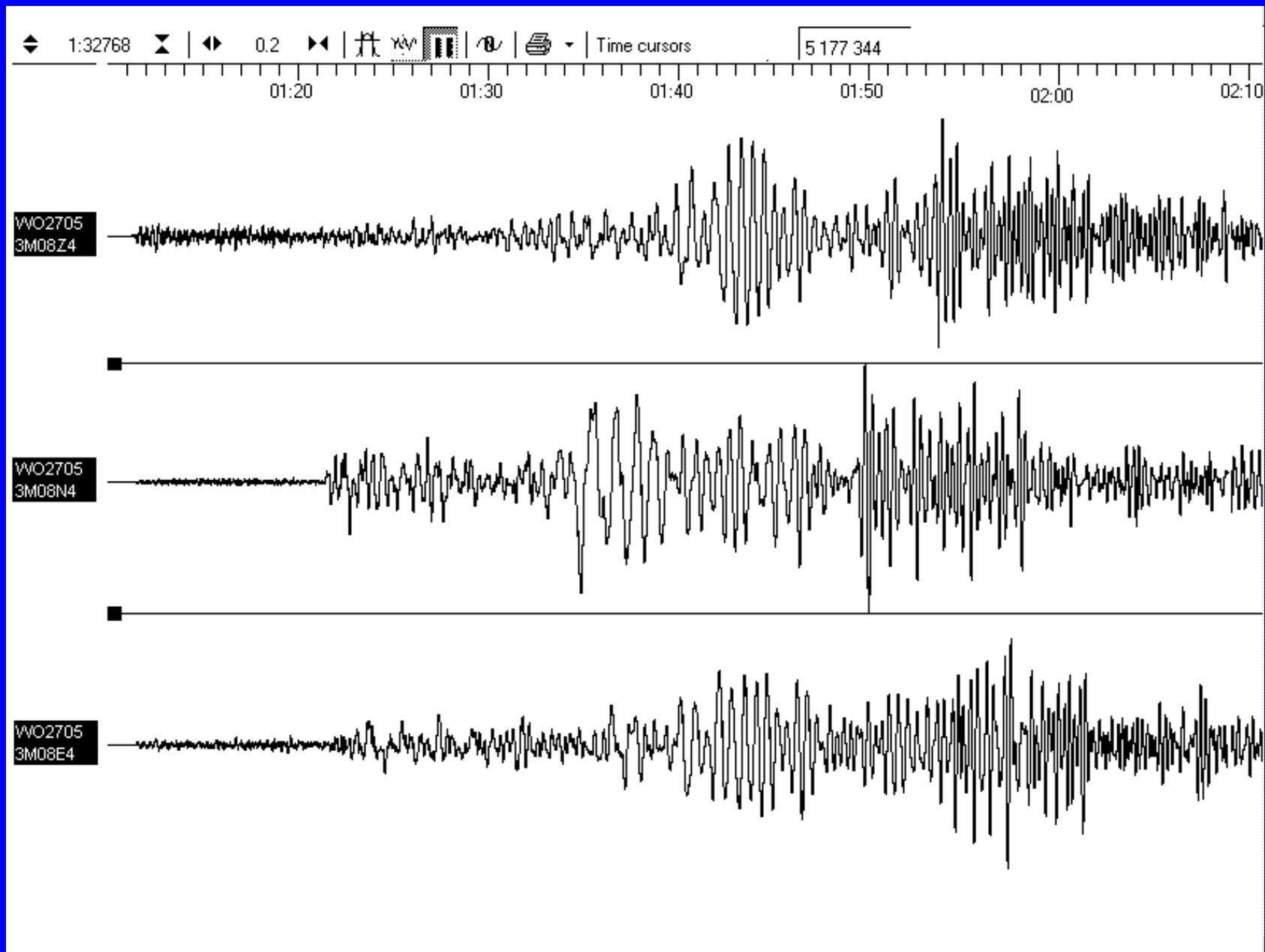
záznam na seismické stanici MFF
v Praze na Karlově
(stanice PRA)

Širokopásmový přístroj CMG 3-T



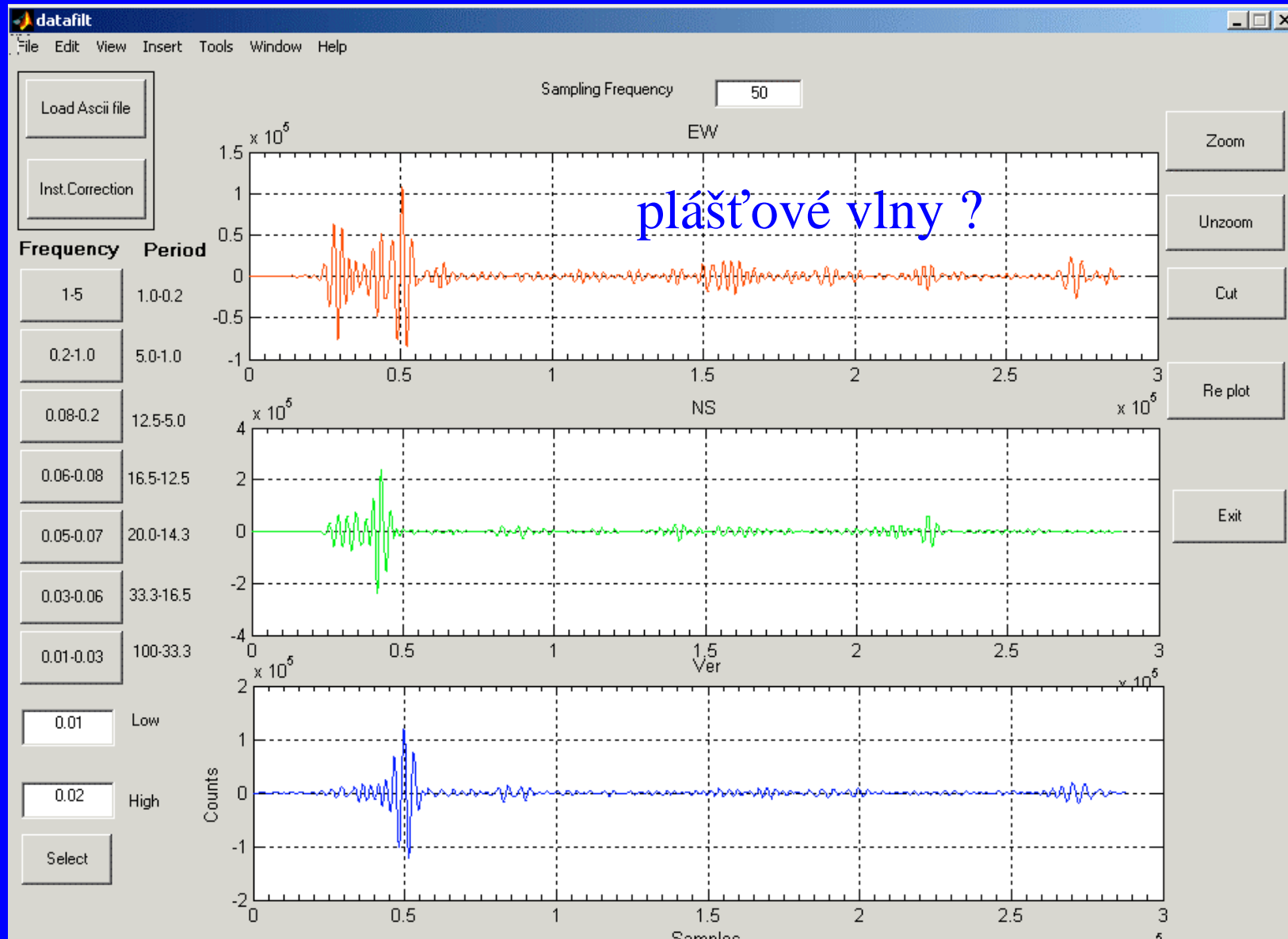


LQ rychlost 1 mm/s, perioda 60 sec... posunutí ~ 1 cm



LQ rychlost 1 mm/s, perioda 60 sec... posunutí ~ 1 cm !!
deformace možná až 10^{-7} , možný vliv na spodní vody ?

Delší a filtrovaný: 50-100 sec



Proč nás zajímá záznam v Praze ?

Výjimečně silný „signál“ !

Spolu s dalšími záznamy může
přispět i k modelování kůry a pláště
v Evropě.

O. Novotný

Zajímavost 2

Naše účast v mezinárodním projektu
o podobných problémech
ve Středomoří

3HAZ-CORINTH

- EC projekt 2004-2006 (koord. P. Bernard)
- zemětřesení, sesuvy a tsunami

300 před n.l. (?) zmizení Elikí

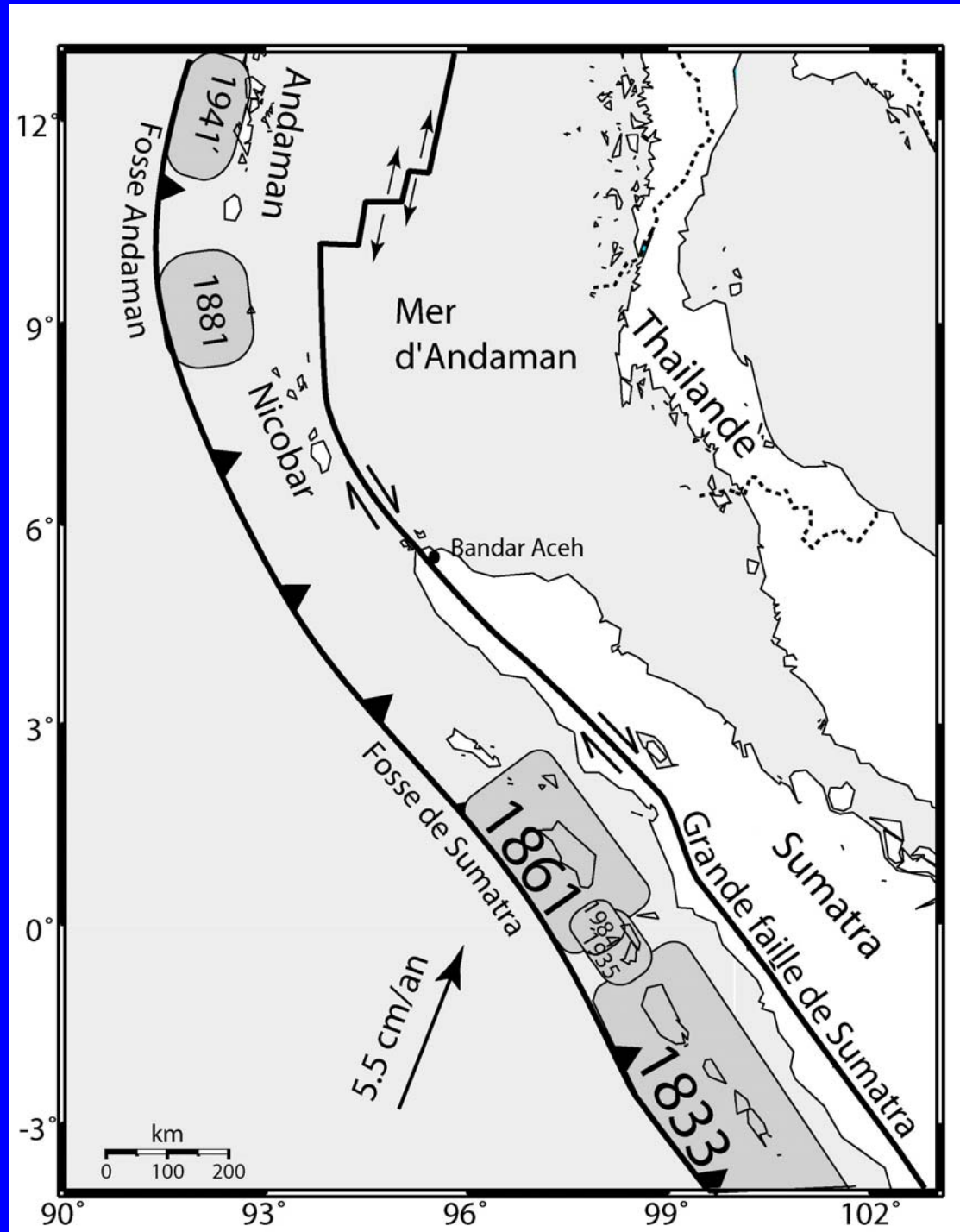
Část 5

Je možno předpovědět místo
a velikost budoucího z. ?

Dlouhodobá příprava z. ?

Historická z.
M8 a větší
(M9 r. 1833)

současné katalogy
(po r. 1970) kladou
do mezery jen 1 z. M7



Krátkodobá příprava zemětřesení aneb „Ze život zlomů“

- Zemětřesení, odstranění zaklesnutí, vznik trhlin, „abraze“.
- Pokračuje tektonický pohyb desek, zaklesnutí se opět zvětšuje, „adheze“.
- Přitom se mění parametry zlomu (roste „drsnost“ a „korelační délka“, prostorové spektrum nehomogenit se obohacuje o krátkovlnné složky. Změna fraktální dimenze.

- $N \sim R^{-D}$
- $\log N \sim -D \log R \sim -D/3 \log Mo \sim -D/2 M$
- $Mo \sim R^3$ (nebot' $Mo \sim [u]\Sigma \sim [u]R^2$ a $[u] \sim R$)
- $M \sim 2/3 \log Mo$
- $\log N = a - b M$

- S rostoucím zaklesnutím hodnota D klesá (volný skluz: D 1.5-1.7, zaklesnutí $D = 1$).
- Protože $\log N = a - b M$, např. $b = D/2$, možnost detekce stavu zlomu (D) pomocí b .
- $b = b(x, y, z, t)$ mapování „asperit“ jako účinný nástroj nepřímého studia zlomu

- Časová změna b bývá provázána nárůstem počtu předtřesů (ASR) a jinými efekty (LURR).
- Tyto makroskopické vlastnosti lze teor. zdůvodnit numerickými simulacemi v rámci částicových modelů zlomového systému. Tak se vyjasňuje model reologie zlomu (stále otevřený problém!).

- Z režimu $D=D(t)$, s výše zmíněnými možnostmi predikce, se může zlom přepnout do režimu $D=const$.
- $D=const$ je klasický G-R zákon a lineární Benioffův zákon, bez možnosti predikce.
- Čili: na stejném zlomu může být letos krátkodobá predikce úspěšná a za 10 let zcela selhat...

V režimu $D=D(t)$,
s přibližováním ke „katastrofě“,
roste nestabilita. Slabý vnější
napět'ový efekt může „spustit z.“

Odhad míst zvýšené pravděpodobnosti z. ovlivněných předchozím zemětřesením

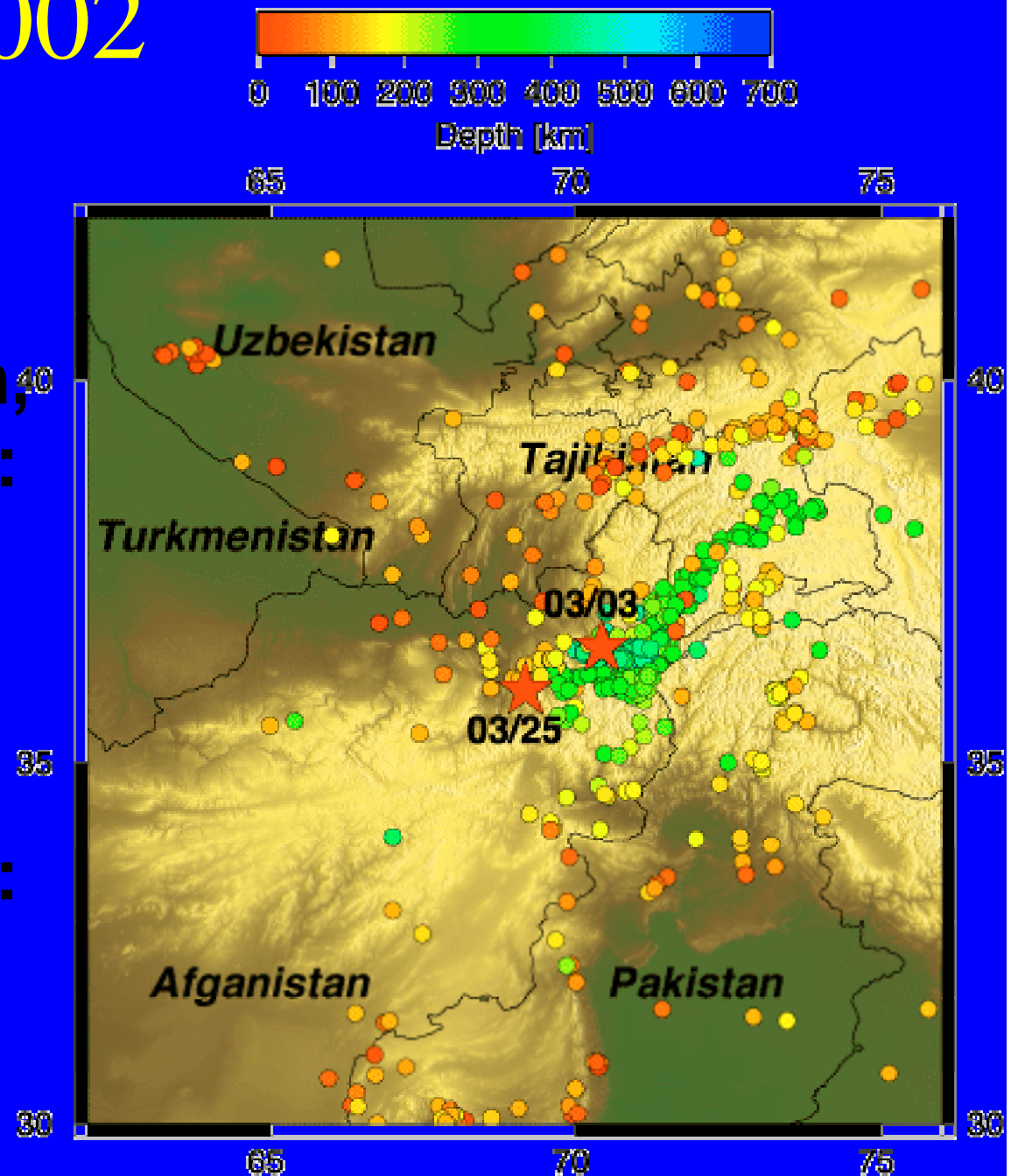
Jak otřes A “spouští” otřes B, jak to
vypočítat a využít pro varování

naše účast v EC projektu PRESAP

Afghanistan, 2002

March 3, 2002:
M 7.4, Depth 216 km,
Number of fatalities:
100

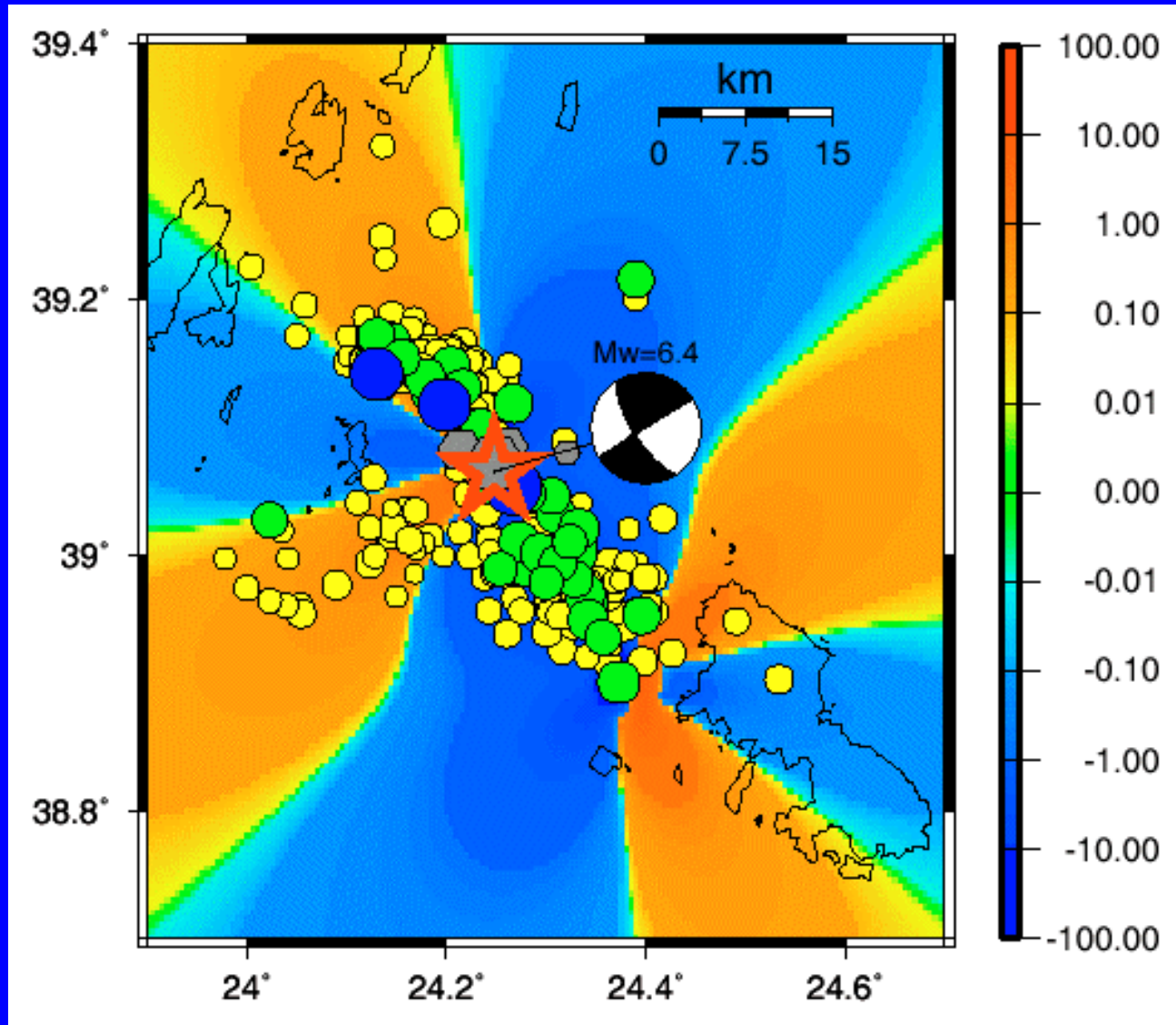
March 25, 2002:
M 5.9, Depth 10 km,
Number of fatalities:
>2000



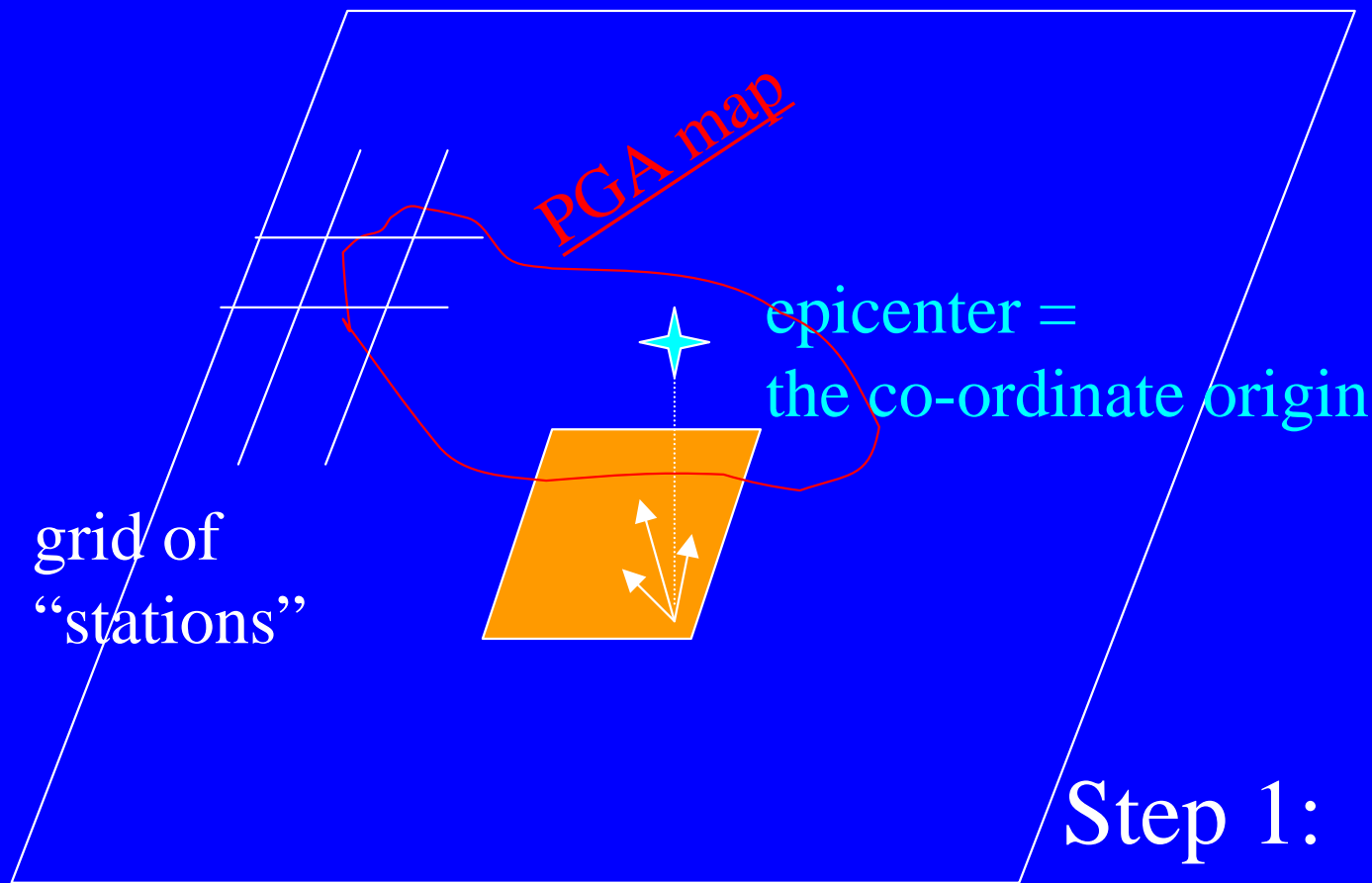
Egejské moře, ostrov Skyros

26. 7. 2001

mag. 6.5



Dotřesy
v oblastech
detekovaných
jako
náchylné
ke smykovému
porušení



Step 1:
Strong-motion scenario
is pre-computed
for a given Mw, and
a given nucleation point

a 'known' crustal structure
3 basic fault types (SS, N, R)

Coulomb red sectors and geol. faults

Step 2:
The pre-computed
ground motion
is assigned to a
selected faults

their previous “history” should be considered



Část 6

I když není předpověď místa a času z.
dobrá, můžeme numericky simulovat
účinky zemětřesení a tak přispívat k
antiseismickému stavitelství.

Peru, 1970 Huascarán desuv, lavina

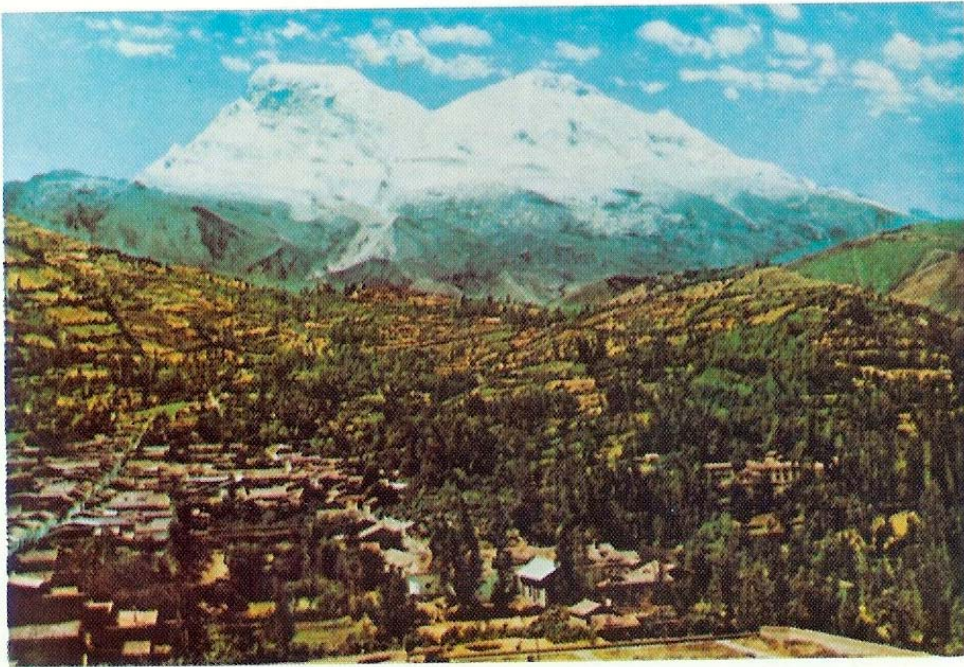


FIG. 1. Yungay. View looking east from Cemetery Hill showing village as it existed before May 31, 1970 earthquake and debris avalanche.

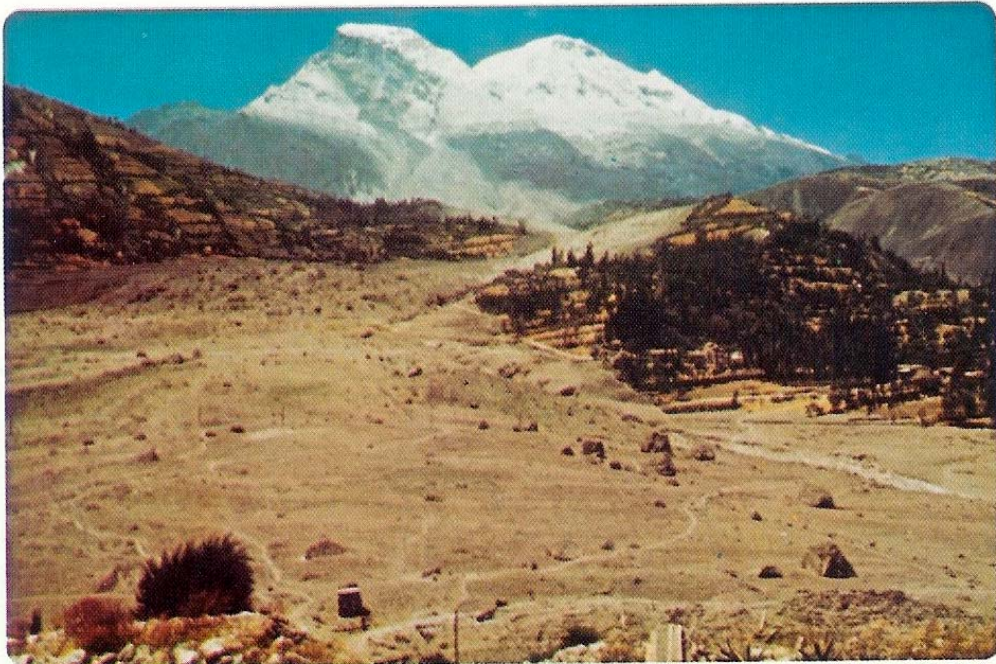
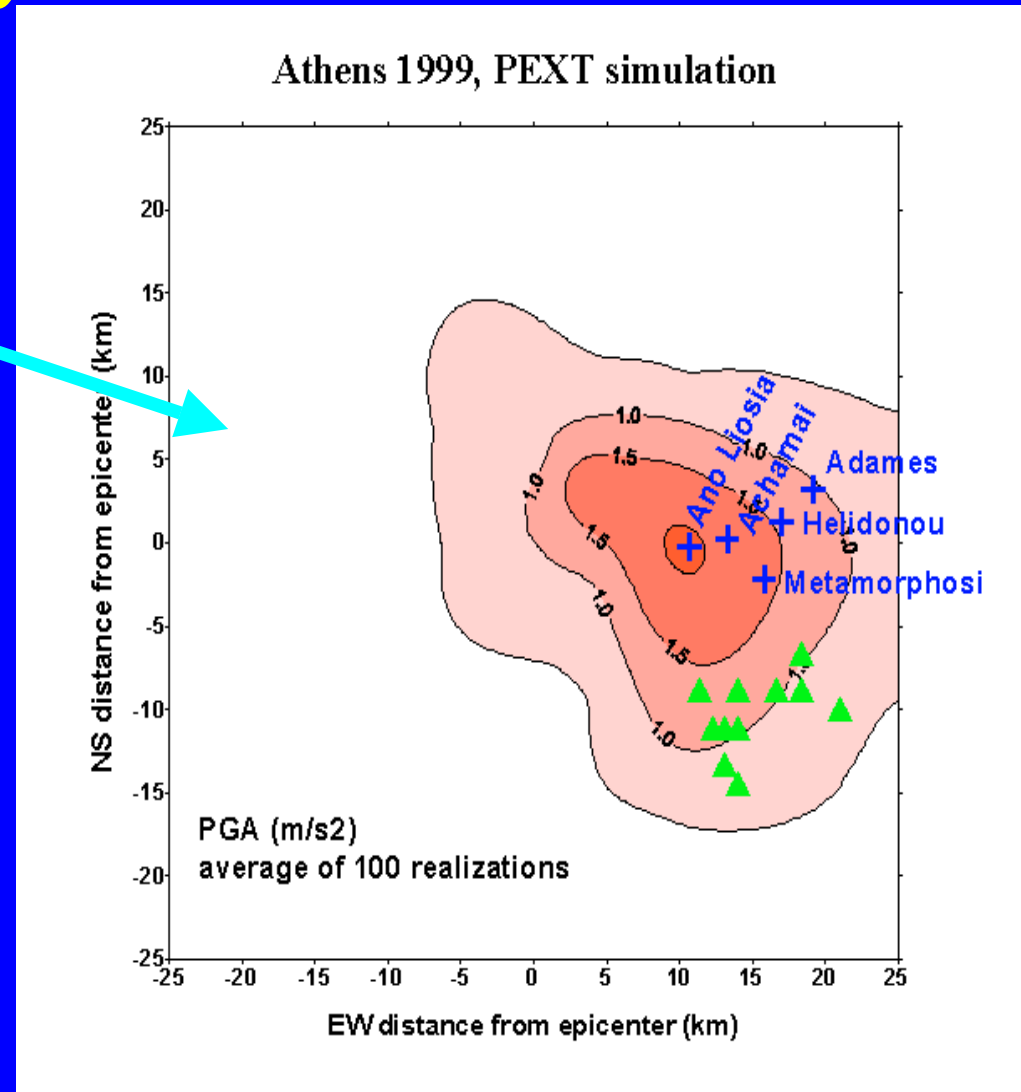
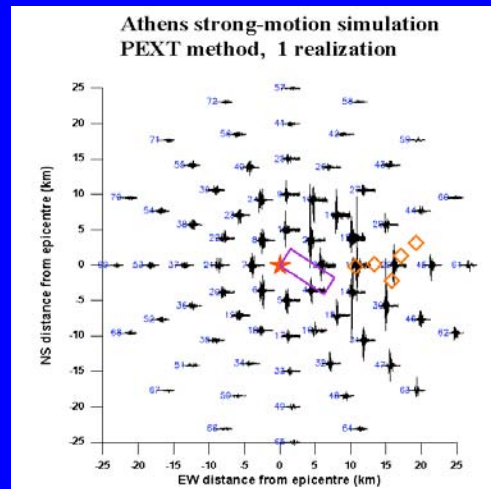


FIG. 2. Yungay. Same view as in Figure 1 except photograph was taken after Huascarán debris avalanche.



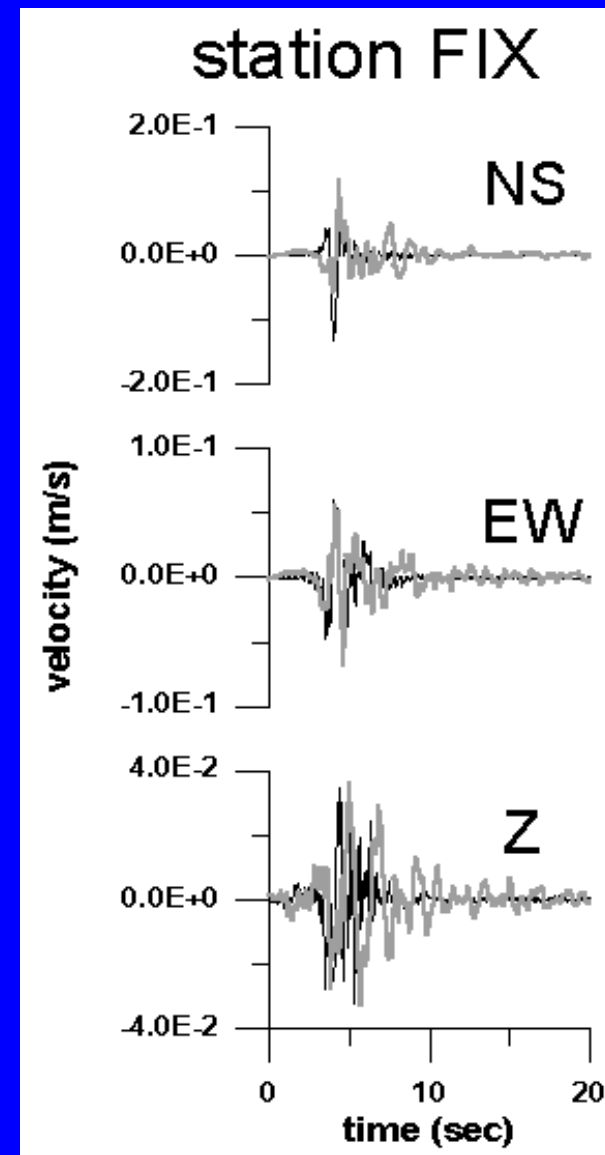
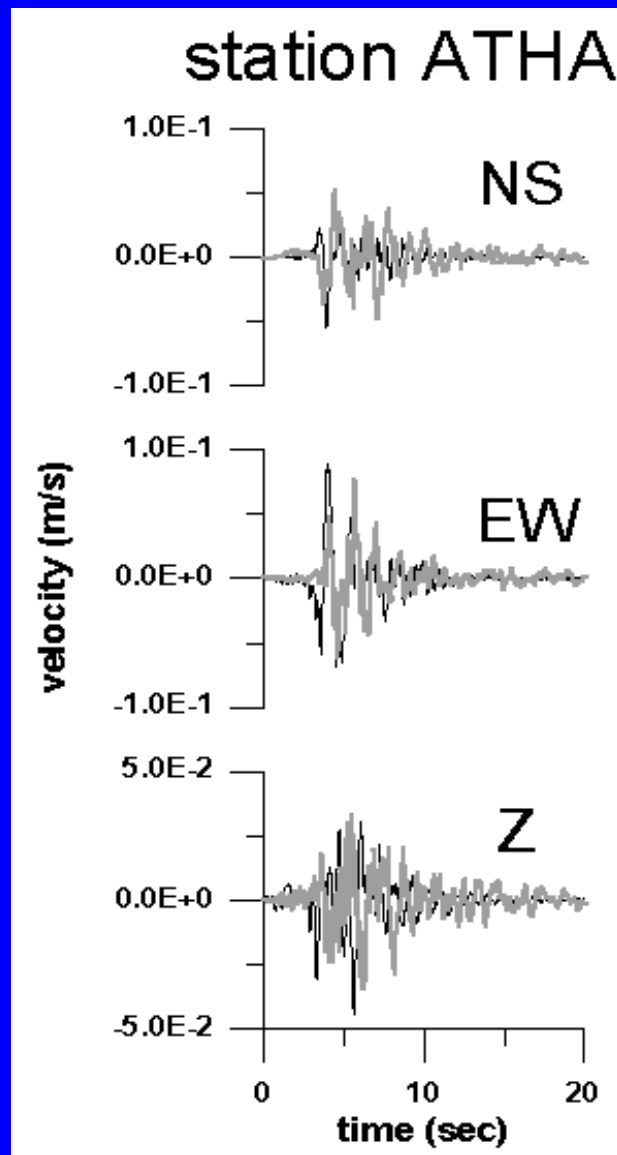
Simulace vysvětluje místa ničivých účinků



Snaha simulovat v
„reálném čase“.

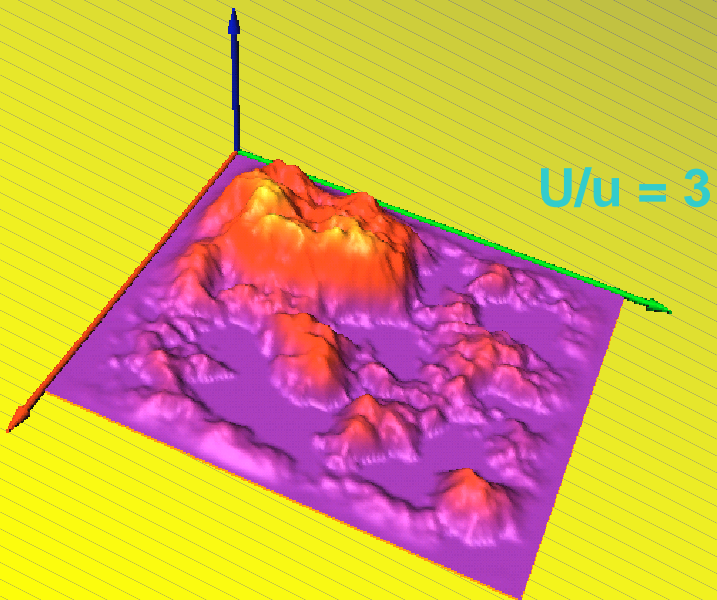
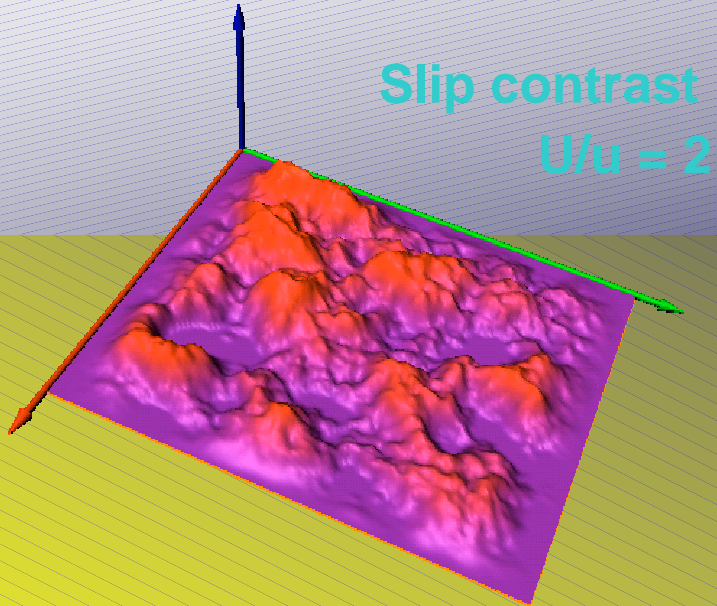
Systemy rychlé pomoci, příp. i varování

Atény - test modelu syntetické a reálné záznamy



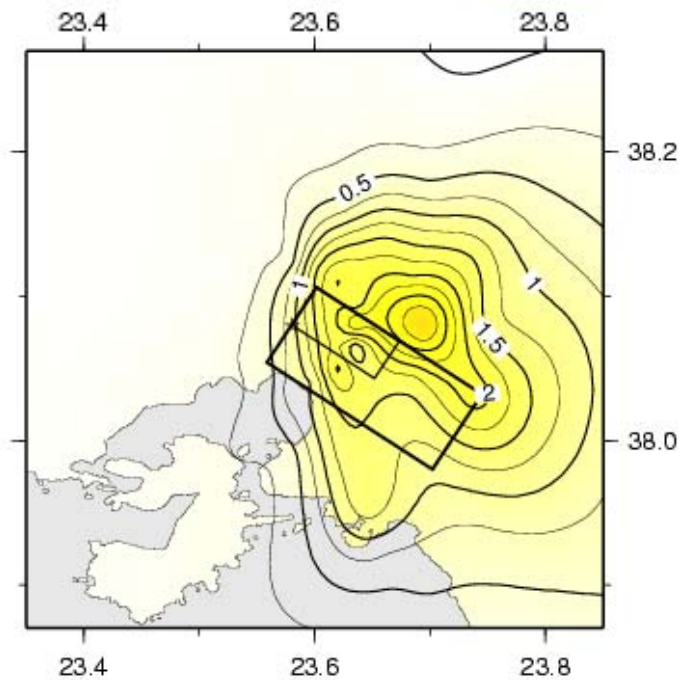
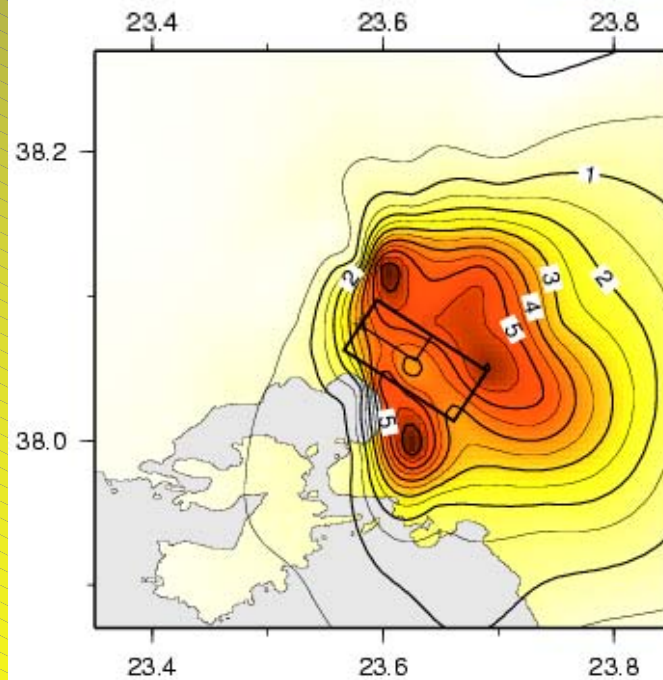
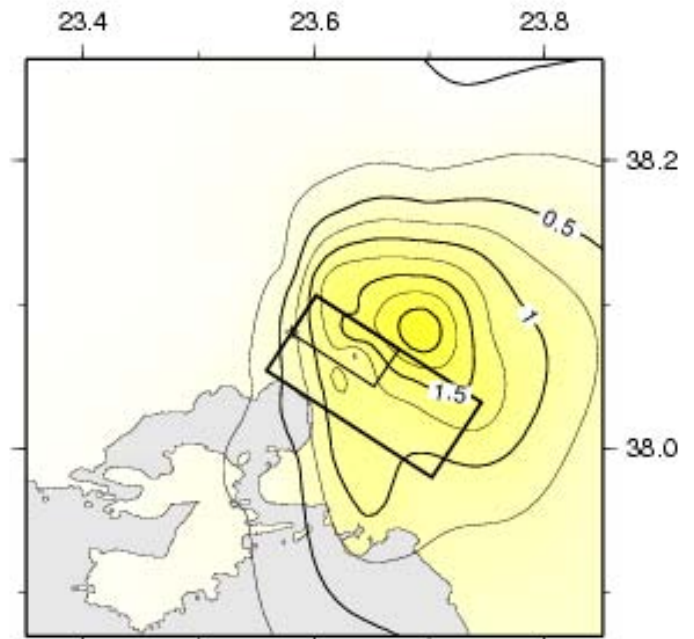
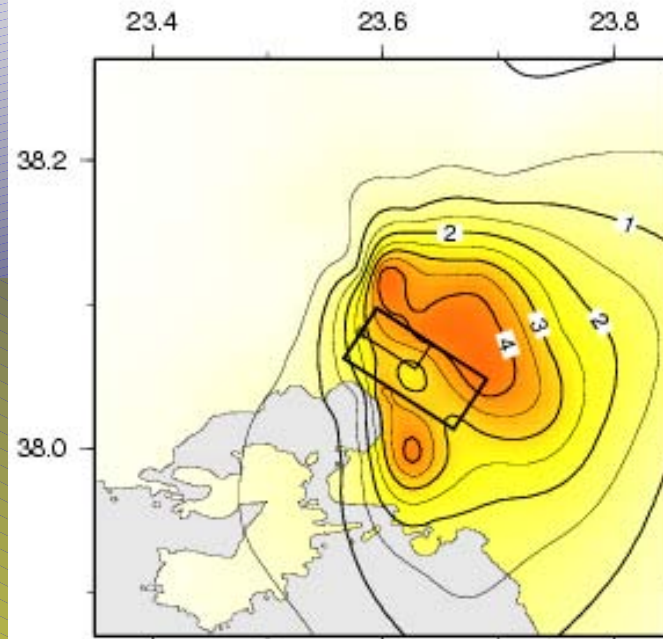
Athens slip models

with asperity



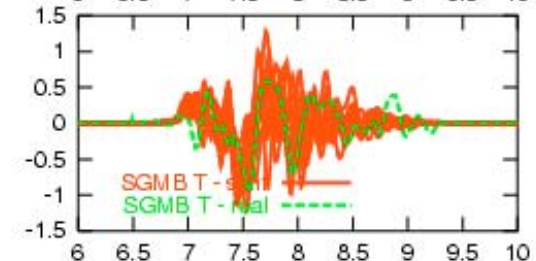
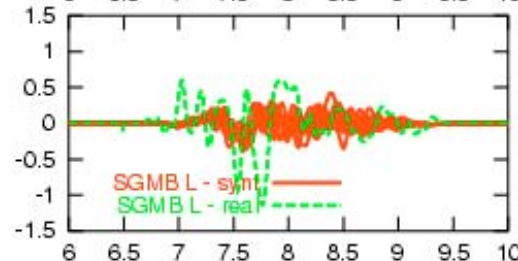
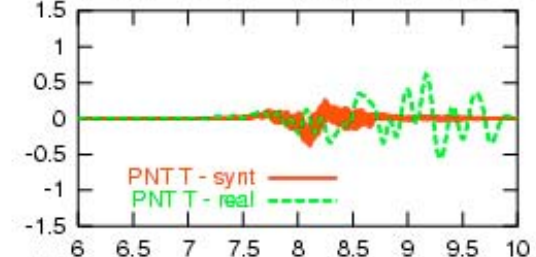
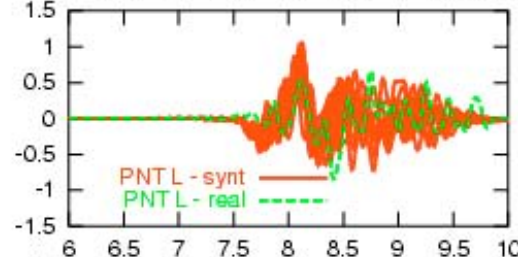
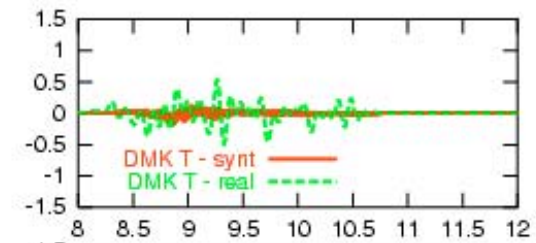
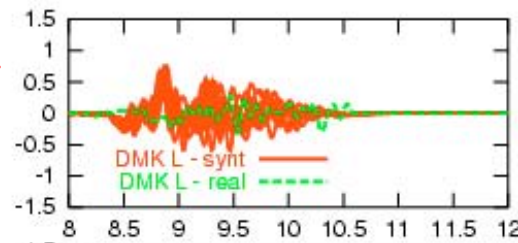
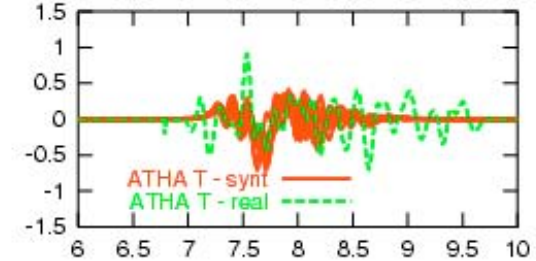
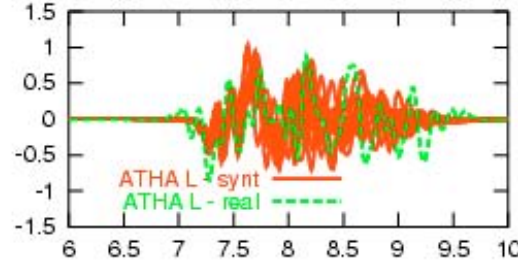
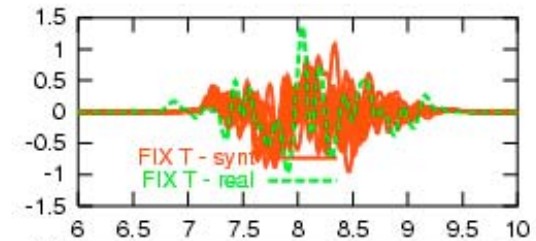
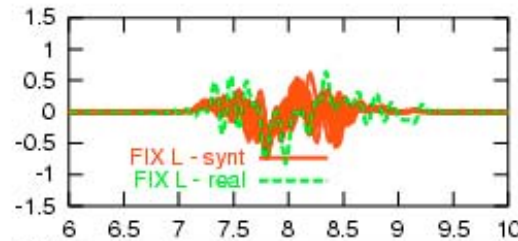
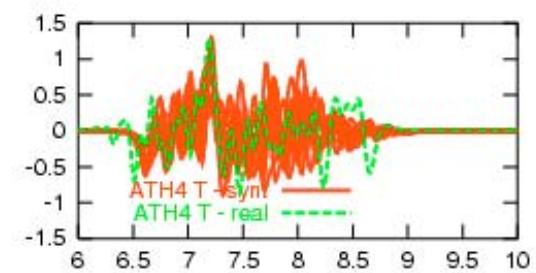
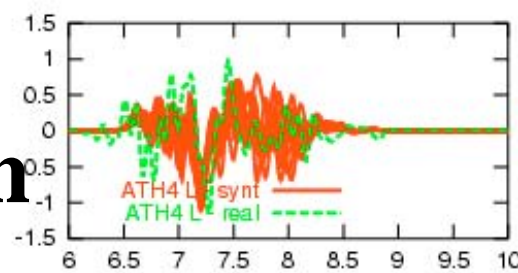
10 x 8 km fault

15 x 12 km fault

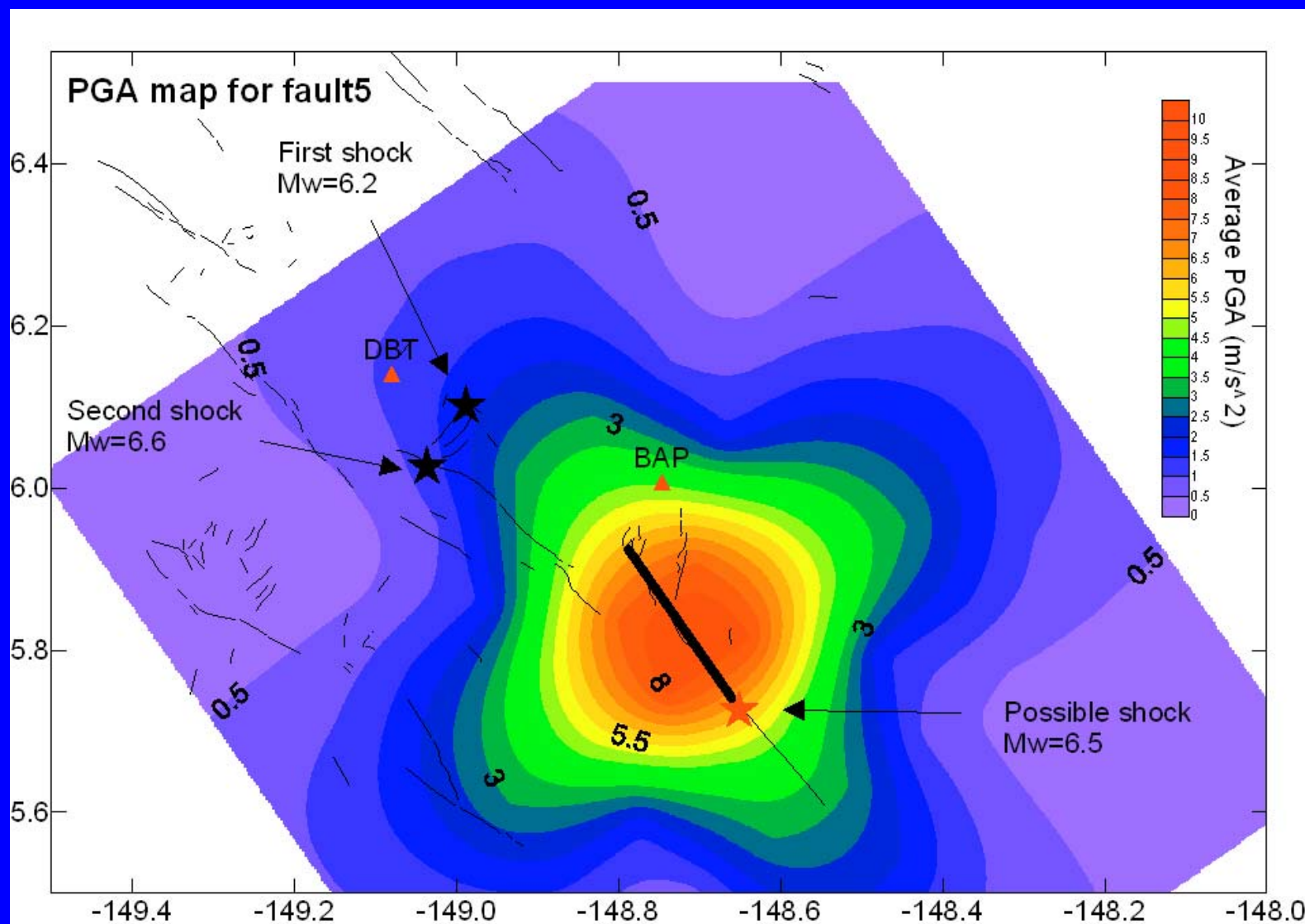


Athens - validation (F. Gallovič)

New method
how to measure fit
between one real record
and a suite of synthetics
(a paper)



Předpověď silných pohybů "v reálném čase" (J. Burjánek)



Úloha simulace pohybů pŕdy je
poněkud snazší než predikce z.

ale neznalost detailů zlomu vyžaduje
kombinovat deterministické
a stochastické přístupy, „seis. scénáře“

! důležité parametry, např. rychlost šíření trhliny,
nebo max. rychlost skluzu, atd.
souvisejí se “životem zlomů“ (viz výše)

Závěr

- Nutnost prohloubení teor. modelů zlomů (reologie, šíření trhlin)
- Naděje pro predikci z. i pro simulaci silných pohybů při budoucích z.
- Problém není řešitelný bez úzké vazby na modelování dynamiky Země, např. pohyby a deformace litosferických desek.
- Související disciplíny: družicová měření...